

**تصنيف وكشف التغيرات المورفولوجية للتربة ما بين الصقلاوية
وابي غريب- محافظة الانبار- باستخدام المؤشرات الطيفية
للأعوام (١٩٩٤-٢٠٢٤)**

**Classification and Detection of Soil Morphological Changes
Between Al-Saqalawiya and Abu Ghraib-Anbar governorate-
Using Spectral Indices for the Years (1994-2024)**

إعداد

سارة وليد عبد الحميد
Sara Waleed Abdelhamid
أ.د/ نبراس عباس ياس
Prof. Nebras Abbas Yass

الجامعة العراقية - كلية الآداب- قسم الجغرافية

Doi: 10000000000

استلام البحث : ٢٩ / ٥ / ٢٠٢٥

قبول النشر: ١١ / ٧ / ٢٠٢٥

عبدالحميد، سارة وليد ويس، نبراس عباس (٢٠٢٥). تصنیف وکشف التغيرات
المورفولوجية للتربة ما بين الصقلاوية وابي غريب- محافظة الانبار- باستخدام المؤشرات
الطيفية للأعوام (١٩٩٤-٢٠٢٤). **المجلة العربية للدراسات الجغرافية**، المؤسسة العربية
للتربية والعلوم والآداب، مصر، ٢٥(٨)، ٢٥٧ - ٢٩٨ .

<https://jasg.journals.ekb.eg>

تصنيف وكشف التغيرات المورفولوجية للتربة ما بين الصقلاوية وأبي غريب- محافظة الانبار- باستخدام المؤشرات الطيفية للأعوام (١٩٩٤-٢٠٢٤)

المستخلص:

هدفت هذه الدراسة إلى كشف وتصنيف التغيرات المورفولوجية والبيئية التي طرأت على التربة في المنطقة الواقعة ما بين الصقلاوية وأبو غريب في محافظة الانبار غرب العراق وتحديداً شمال غرب مدينة الفلوجة على ضفاف نهر الفرات يحدها من الغرب الجسر الياباني ومن الشرق قضاء الكرمة ومن الشمال بحيرة الثرثار ومن الجنوب الفلوجة. وبمساحة تبلغ (٦٠.٩ كم^٢) خلال المدة (١٩٩٤-٢٠٢٤)، وذلك بالاعتماد على تقنيات الاستشعار عن بعد واستخدام مجموعة من المؤشرات الطيفية المتقدمة، اعتمد البحث على صور الأقمار الصناعية (Landsat 5 و 8) مع تطبيق مؤشرات طيفية متعددة شملت مؤشر الاختلاف الخضري الطبيعي (NDVI)، ومؤشر الغطاء النباتي المعدل للتربة (SAVI)، ومؤشر المياه (WI)، ومؤشر الرطوبة (NDMI)، ومؤشر القشرة البيولوجية (CI)، ومؤشر ملوحة التربة (SI)، ومؤشر التربة الجرداء (BI). وتهدف الدراسة الى مطابقة المؤشرات مع الوحدات الفيزيوغرافية الموجودة ضمن منطقة الدراسة، أظهرت النتائج أن المنطقة المدروسة شهدت تراجعاً ملحوظاً في المساحات النباتية الكثيفة والمتوسطة، يقابلها اتساع في مساحة التربة الجرداء والجافة، اذ حسب مؤشر (NDVI) للغطاء النباتي تبين ان هناك زيادة في التربة الجرداء بنسبة (٥.٩٤%) وهذا يعكس تدهور بيئي وزحف للتصحر. إلى جانب زيادة واضحة في مستويات الملوحة ومؤشرات الجفاف. تم تصنيف منطقة الدراسة الى ثلاث اصناف الصنف الاول هو القشرة الضعيفة جداً شغل مساحة (٦٣.٦ كم^٢) في عام (١٩٩٤) وشغل مساحة (٦٠.٢ كم^٢) في سنة (٢٠٢٤) بنسبة تغير (٥٥.٣٥%) بفرق (٣.٤%).اما الصنف الثالث هو القشرة المتوسطة شغل مساحة (٣٩ كم^٢) في عام ١٩٩٤ و شغل مساحة (٤١.٩ كم^٢) في عام (٢٠٢٤) بنسبة (٦٦.١٥%) وبفرق (٢.٤%). كما كشفت التحليلات المكانية وجود تدهور بيئي مقاوم للشدة بين موقع الدراسة المختلفة، يعكس التأثير المشترك للتغيرات المناخية والنشاط البشري المستمر. تؤكد الدراسة أهمية المؤشرات الطيفية كأدوات فعالة في مراقبة التغيرات البيئية على المدى الطويل، يشير الى تفاقم الجفاف او التدهور في رطوبة التربة وان انخفاض التربة شبه الجافه بنسبة (١٤.٢٢%) يدل على تحولها الى مناطق اكثر جفافاً بفعل التغير المناخي او الضغط البشري (مثل الزراعة او الرعي الجائر) . وتدعو إلى تبني سياسات شاملة لإدارة الموارد الطبيعية واستعادة الأراضي المتدورة، بما يحقق التوازن بين التنمية الزراعية والحفاظ على النظام البيئي في المناطق الهشة. كما بينت أهمية استخدام تقنيات الاستشعار عن بعد في رصد ومتتابعة التغيرات البيئية على المدى الطويل وتنشير النتائج إلى الحاجة الملحة لتنفيذ سياسات فعالة لإدارة الموارد الطبيعية والحد من التدهور البيئي.

الكلمات المفتاحية : المؤشرات الطيفية ، الاستشعار عن بعد ، النمذجة المكانية

Abstract:-

This study aimed to identify and classify the morphological and environmental changes that have occurred in the soil within the area located between Saqlawiyah and Abu Ghraib in Al-Anbar Governorate, western Iraq—specifically northwest of Fallujah city, along the banks of the Euphrates River. The study area is bordered by the Japanese Bridge to the west, Al-Karma District to the east, Lake Tharthar to the north, and Fallujah to the south, with a total area of approximately 160.9 km². The study covers the period from 1994 to 2024 and relies on remote sensing techniques and a set of advanced spectral indices .Satellite imagery from (Landsat 5 and Landsat 8) was used, along with multiple spectral indices, including the (Normalized Difference Vegetation Index (NDVI), Soil-Adjusted Vegetation Index (SAVI), Water Index (WI)K Normalized Difference Moisture Index (NDMI) Crust Index (CI), Salinity Index (SI), and Bare Soil Index (BI). The objective was to correlate these indices with the existing physiographic units within the study area .The results revealed a notable decline in dense and medium vegetation cover, accompanied by an expansion of bare and dry soil. Based on NDVI, bare soil areas increased by (5.94%) , indicating (environmental degradation and advancing desertification) . Additionally, there was a clear rise in salinity levels and drought indicators .The study area was classified into three categories based on biological soil crusts. The first category, (very weak crust), occupied (63.6 km²) in 1994 and decreased to 60.2 km² in 2024, reflecting a change of (-5.35%) (a reduction of 3.4 km²). The third category, moderate crust, increased from 39 km² in 1994 to 41.9 km² in 2024, representing a (6.15% increase) (a gain of 2.9 km²) . Spatial analyses revealed varying degrees of environmental degradation across different locations, highlighting the combined effects of climatic changes and continuous human activities .The study underscores the importance of spectral indices as effective tools for long-term monitoring of environmental changes. The findings point to increasing dryness and reduced soil moisture, with the 14.23% decline

in semi-arid soils indicating a shift toward more arid conditions, driven by climate change and anthropogenic pressures such as agriculture and overgrazing .The study recommends adopting comprehensive policies for natural resource management and land restoration, aiming to strike a balance between agricultural development and ecosystem preservation, especially in ecologically fragile regions. It also emphasizes the vital role of remote sensing technologies in tracking and understanding long-term environmental dynamics, and calls for urgent implementation of effective strategies to combat environmental degradation.

Keywords: Spectral indices, Remote sensing, Spatial modeling.

المقدمة

وفرت الأقمار الصناعية الفرصة لمراقبة الغطاء الارضي والتنبؤات بمعلومات دقيقة وحقيقية عن تدهور التربة والتغيرات الحاصلة عليها ولا سيما بعد تحسين قدرة التغير المكاني للمتحسسات التي تحملها هذه الأقمار وتم استخدام المؤشرات الطيفية للمقارنة بين (١٩٩٥ و ٢٠٢٤) لرصد التدهور وايجاد الحلول لها، وتعد تلك المؤشرات احدى اهم التقنيات التي طبقت على المرئيات الفضائية التي تنتج من قسمة قيم الاعداد الرقمية لأحدى الحزم الطيفية وهذه المرئيات توضح الاختلاف في منحنى الانعكاسية الطيفية للحزمه المعنية بعض النظر عن قيم الانعكاسية الممتصة من قبل الحزم الطيفية وتعتمد تلك المؤشرات على استفادة بعض العلاقات الرياضية من بيانات الانعكاسية المسجلة بواسطة المتحسسات الوصول الى الهدف وجمع تلك المؤشرات المبنية على مبدأ تفاعل الاشعة الساقطة على الجسم الخاضع للدراسة.

اولاً : مشكلة البحث (Research Problem)

شهدت المنطقة الواقعه بين الصقلاوية وأبي غريب خلال العقود الثلاثة الأخيرة تغيرات بيئية واضحة، تجلت في تدهور الغطاء النباتي، ازدياد المساحات الجرداء، تفاقم الملوحة والجفاف. ورغم الأهمية الزراعية والبيئية لهذه المنطقة الواقعه على ضفاف الفرات، إلا أن الدراسات التي تناولت التغيرات المورفولوجية للتربة بالاعتماد على مؤشرات طيفية طويلة المدى ما زالت محدودة. ومن هنا تبرز مشكلة البحث في: كيف يمكن توظيف تقنيات الاستشعار عن بعد والمؤشرات الطيفية لرصد وتقييم التغيرات المورفولوجية للتربة في المنطقة المدروسة خلال المدة (١٩٩٤-٢٠٢٤)، وما انعكاسات ذلك بيئياً وزراعياً؟

ثانياً : فرضية البحث (Research Hypothesis)

من المتوقع أن تكون منطقة الدراسة قد شهدت انخفاضاً ملحوظاً في الغطاء النباتي الكثيف والمتوسط يقابلها اتساع للأراضي الجرداة والجافة. ومن المرجح أن مؤشرات الملوحة والجفاف قد أزدادت بشكل متزايد نتيجة التغيرات المناخية والأنشطة البشرية (زراعة، ري، رعي جائز). والمؤشرات الطيفية (NDVI، SAVI، NDMI، SI، BI، CI) تمثل أدوات فعالة يمكن الاعتماد عليها لرصد هذه التغيرات بشكل كمي وموضوعي.

ثالثاً : أهداف البحث (Research Objectives)

تحديد ورصد التغيرات المورفولوجية للتربة في المنطقة بين الصقلاوية وأبي غريب خلال المدة (١٩٩٤-٢٠٢٤) باستخدام المؤشرات الطيفية. تصنف الوحدات الفيزيوغرافية وربطها بالغطاء النباتي والرطوبة والملوحة. تحليل التغيرات المكانية والزمانية لمؤشرات التربة وربطها بالأنشطة البشرية والعوامل المناخية. إعداد خرائط مكانية توضح التوزيع المكاني للتغيرات المورفولوجية. اقتراح توصيات عملية للحد من التدهور البيئي والتصرّح في المنطقة المدروسة.

رابعاً : أهمية البحث (Research Significance)

يضيف هذا البحث بعدها تحليلياً متقدماً باستخدام مؤشرات طيفية متعددة لرصد التغيرات المورفولوجية للتربة في بيئة جافة شبه جافة مثل الأنبار. ويوفر نتائج يمكن أن تسهم في التخطيط الزراعي المستدام وإدارة الموارد الطبيعية في المنطقة. ويسلط الضوء على مؤشرات التصحر والتملح، مما يساعد صانعي القرار على وضع استراتيجيات للحد من التدهور البيئي. ويُظهر جدواً الاستشعار عن بعد كأداة دقيقة لرصد التغيرات طويلة المدى دون الحاجة لمسوح ميدانية مكلفة.

خامساً : الدراسات السابقة (Previous Studies)

١-شلال (٢٠٠٧): استخدم مؤشر NDVI في تحديد تدهور الغطاء النباتي في جبل سنجار، وأكد على فعالية الاستشعار عن بعد في تقييم التصحر.

٢-خلف (٢٠١٥): طبق مؤشرات نباتية متعددة في بيجي لرصد التصحر والكتبان الرملية.

٣-المشهداني والكبيسي (٢٠١٤): درسوا التملح في العراق باستخدام المؤشرات الطيفية وأكدوا على حساسية الأشعة تحت الحمراء للملوحة.

٤-حاشوش (٢٠٢١): كشف عن تغيرات الغطاء الأرضي في ذي قار (٢٠١٣-٢٠٢٠) باستخدام المؤشرات الطيفية وأبرز التدهور الزراعي.

سادساً: حدود منطقة الدراسة

١- الحدود الفلكية

تقع منطقة الدراسة فلكياً بين دائري عرض (٣٣°٥١'٥٨" - ٣٣°٠٠'٠٨") شماليًّاً، وخطي طول (٤٣°٢٧'٢٨" - ٤٤°١٧'٤٥") شرقاً. وتمثل هذه الإحداثيات الموقع

الجغرافي الدقيق للمنطقة على سطح الكرة الأرضية، وتسهم في تحديد إطاراتها المكانية بصورة علمية دقيقة.

٢- الحدود الطبيعية (Natural Boundaries)

تحدد منطقة الدراسة من الشرق سهول نهر الفرات الفيضية، ومن الغرب أطراف الهضبة الغربية ذات الطبيعة الصحراوية. أما من الشمال فتقع أراضٍ شبه صحراوية، في حين تحدوها من الجنوب امتدادات زراعية وسكنية. وتتنوع مظاهر السطح فيها بين الأراضي المنبسطة والسهول الفيضية والمنخفضات الطينية والمناطق الرسوبيّة، بالإضافة إلى وجود بعض التلال والكتلان الرملية.

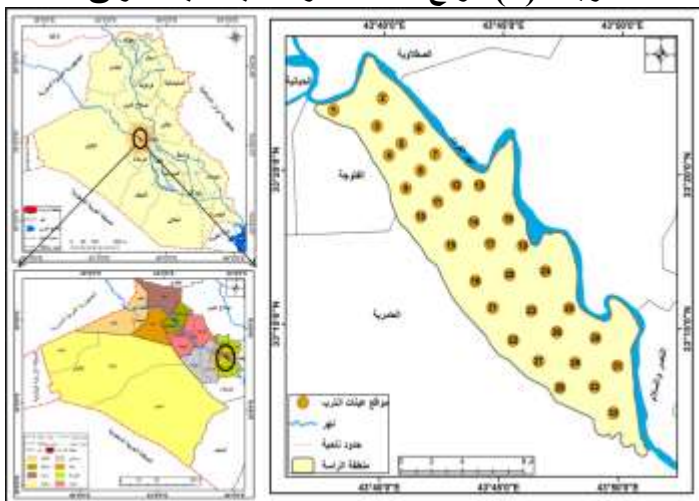
٣- الحدود الموضوعية (Thematic Boundaries)

تتمثل الحدود الموضوعية للدراسة في تحليل وتقدير الخصائص البيوجيولوجية للتربة، من خلال دراسة العلاقة بين الخصائص الطبيعية للتربة (الفيزيائية والكيميائية) والسمات الجيوجيولوجية للموقع، باستخدام أدوات التحليل المكانى ونظم المعلومات الجغرافية، بهدف فهم التباينات المكانية للتربة في المنطقة الواقعة بين الصقلاوية وأبو غريب، إذ بلغت مساحة منطقة الدراسة ١٦٠.٦ كم^٢.

٤- الحدود الزمنية (Temporal Boundaries)

يغطي الإطار الزمني للدراسة المدة الواقعة من (١٩٩٤ إلى ٢٠٢٤)، اي خلال ٣٠ سنة بالاعتماد على تحليل مركبات القمر الصناعي 5 Landsat و 8 Landsat، بهدف الكشف عن التغيرات الزمنية في الخصائص الطبيعية للتربة والغطاء الأرضي خلال العقود الثلاثة الأخيرة.

خريطة (١) موقع منطقة الدراسة بالنسبة للعراق



المصدر : بالاعتماد على وزارة الموارد المائية ، الهيئة العامة للمساحة ، قسم انتاج الخرائط ، خريطة العراق الإدارية ، ١:١٠٠٠٠٠ ، ٢٠١١ ، بغداد .

سابعاً : منهجية الدراسة

لا يخلو بحث علمي من وجود منهج معين يتم اتباعه ويقصد بالمنهجية مجموعه الخطوات الالازمة التي يقوم بها الباحث للوصول الى نتائج مشكله البحث وتم استعمال عده مناهج لإتمام الدراسة :

١- **المنهج الوصفي** : تم اعتماده بشكل رئيسي عبر وصف المظاهر الطبيعية في منطقة الدراسة اثناء الزيارة الميدانية اذ تم وصف الظروف والعوامل المؤثرة في الترب. استخدم لوصف الخصائص الجغرافية والطبيعية لمنطقة الدراسة مثل: التضاريس، المناخ، الغطاء النباتي، والمياه السطحية. وقد ساعد في إعطاء صورة شاملة عن البيئة الجغرافية التي تتنمي إليها عينات التربة.

٢- **المنهج التحليلي** : استعمل هذا المنهج في تحليل البيانات وبعد الأساس الذي يستند اليه الباحث في مرحله الكتابة. من خلال جمع وتحليل البيانات والمعلومات ذات العلاقة بخصائص التربة من مصادرها المختلفة. تم استخدام هذا المنهج لفهم وتفسير الظواهر الجغرافية المرتبطة بالتربة.

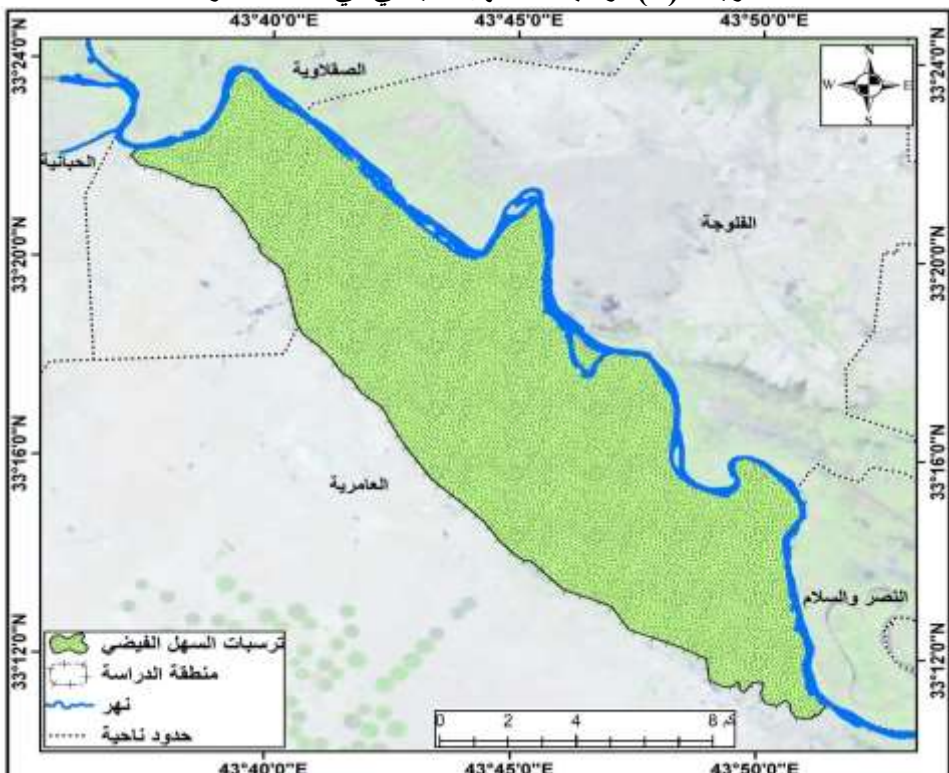
٣- **المنهج المقارن** : من خلال مقارنه النتائج لمعرفه التغيرات الحاصلة في الترب خلال فتره زمنيه ومن خلال مجموعه من الخرائط . تم تطبيقه في مقارنة نتائج التحاليل المختبرية لعينات التربة، سواء من حيث الخصائص الفيزيائية أو الكيميائية. كما استخدم لمقارنة التغيرات المكانية والزمانية في المؤشرات الطيفية مثل SAVI NDVI بين سنوي ١٩٩٤ و ٢٠٢٤ .

ثاماً : جيولوجيا منطقة الدراسة

ترسبات السهل الفيضي:

وهي ترسبات تنتشر في جميع اجزاء منطقة الدراسة اذ تغطيها بشكل كامل وتبلغ مساحتها (١٦٠.٦) كم وبنسبة (%) ١٠٠ وتكونت هذه الترسبات بفعل الفيضانات المتكررة لنهر الفرات ولمراحل تاريخية مختلفة، وهي تكونت ضمن بيئه نهرية، وتظهر هذه الترسبات على امتداد نهر الفرات وعلى الجانبين وتكون من الرمل والغرين والطين مع نسبة قليلة من الحصى الناعم وتشكل هذه الترسبات منحدرات ضيقة قليلة الانحدار في أسفل الحافات الرئيسية وتعكس التوقفات في المنحدرات بين الحافات والأرض المستوية التي تحتها .

خريطة (٢) تربات السهل الفيسي في منطقة الدراسة



المصدر: بالاعتماد على وزارة الصناعة والمعادن الشركة العامة للمسح الجيولوجي والتعدين، خريطة لوحدة بغداد الجيولوجية، مقياس ١ : ٢٥٠٠٠٠ ومخرجات برنامج Arc .map 10.8

جدول (١) التربات الجيولوجية في منطقة الدراسة

النسبة المئوية	المساحة/كم²	التربات الجيولوجية
% ١٠٠	١٦٠.٦	تربات السهل الفيسي

المصدر: بالاعتماد على خريطة (٢) .

تاسعاً : طبوغرافية منطقة الدراسة

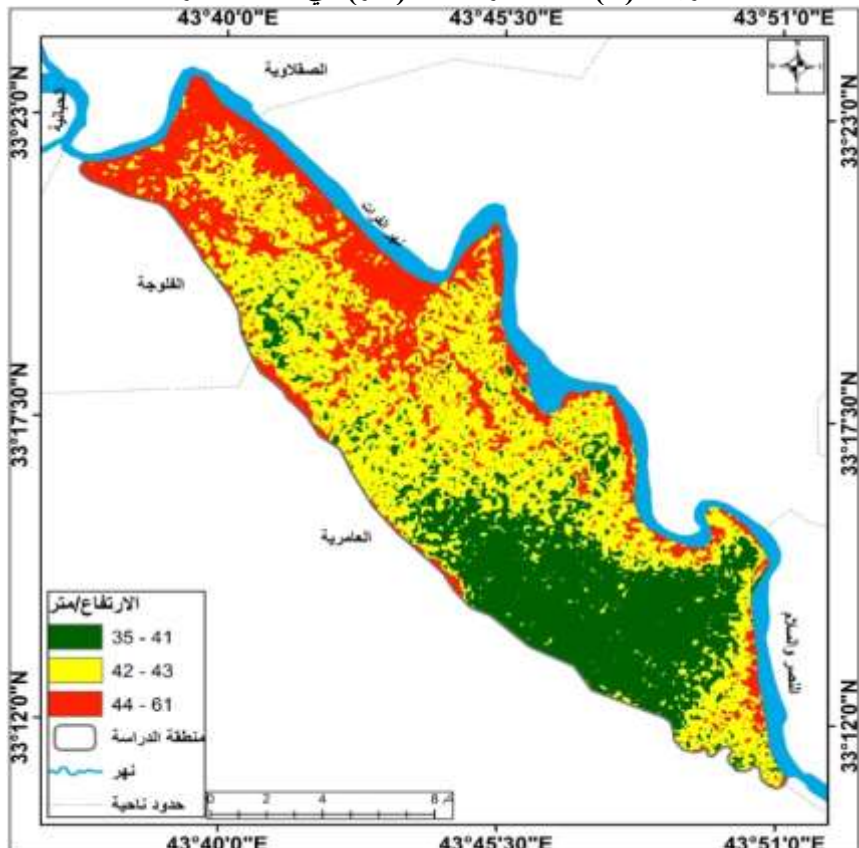
١- الارتفاع : يتضح من الخريطة (٣) الآتي :

أ- المنطقة التي يتراوح ارتفاعها من (٤١-٣٥) م فوق مستوى سطح البحر وتمثل الأجزاء الجنوبيّة الغربيّة من منطقة الدراسة المحاذية لقضاء العمارية، وتبلغ مساحتها (٤٩.٦ كم²) ، ما يقدر نسبته (%) ٣١) الجدول (٢) .

بـ- المنطقة التي يتراوح ارتفاعها من (٤٢-٤٣ م) فوق مستوى سطح البحر تمتد من الشمال الغربي إلى الجنوب الشرقي وفي الجنوب لمنطقة الدراسة وتبلغ مساحتها 69.3 كم^2 أي ما يقدر بنسبة (٤٣%) وهي تشغل أكبر مساحة في منطقة الدراسة الجدول (٢).

تـ- المنطقة التي يتراوح ارتفاعها من (٤٤-٦١ م) فوق مستوى سطح البحر وتنشر في الأجزاء الشمالية والشمالية الشرقية والشمالية الغربية لمنطقة الدراسة تحديداً بموازاة نهر الفرات وقضاء الفلوجة من الجانب الغربي لمنطقة الدراسة وتبلغ مساحتها 41.8 كم^2 أي ما يقدر بنسبة (٤٦%) الجدول (٢).

خريطة (٣) فئات الارتفاعات(متر) في منطقة الدراسة



المصدر: بالاعتماد على نموذج الارتفاع الرقمي DEM ، بدقة (١٥*١٥)م ومخرجات برنامج Arc map 10.8.

جدول (٢) فئات الارتفاعات(متر) في منطقة الدراسة

النسبة %	المساحة/كم ^٢	فئات الارتفاع
%٣١	49.6	41 - 35
%٤٣	69.2	43 - 42
%٢٦	41.8	61 - 44
%١٠٠	١٦٠.٦	المجموع

المصدر: خريطة (٣)

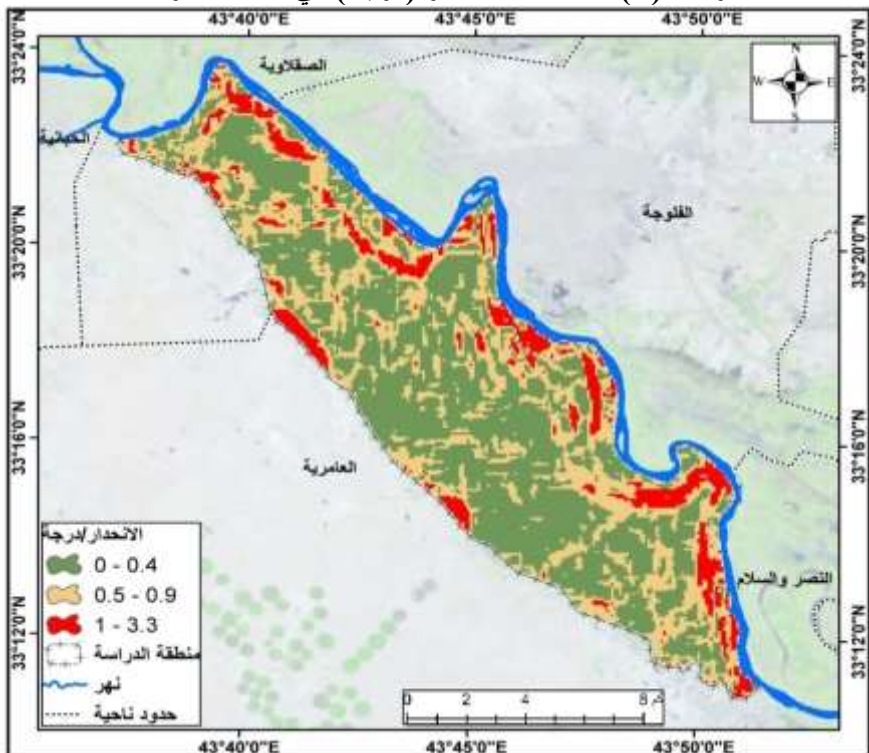
٢- الانحدار : من خلال ملاحظة خريطة (٤) وجدول(٣) تم تقسيم منطقة الدراسة على ثلاث اصناف وحسب انموذج الارتفاع الرقمي (DEM) وهي كالتالي :

أ- السهول : وهي تشغل مساحة واسعة ضمن منطقة الدراسة وتكون أراضٍ منبسطة ومنخفضة تكونت من خلال التربسبات التي حملتها مجري الأنهار ويتراوح زاوية تضرسها ما بين (٤٠-٠)، وتبلغ مساحتها بـ(83.7 كم^٢) وبنسبة(٥٢.١١%) وهي أراضي ناشئة من بقايا التعرية والتجوية فوق سطح الأرض إذ تتحول بمرور الزمن إلى تربة وتمثل في الأراضي السهلية المناسبة للزراعة والبناء ومد الطرق ، يظهر هذا الانحدار على شكل مناطق واسعة تمتد من الشمال الى الجنوب وتنتشر في جميع اجزاء المنطقة (عيسي، ٢٠١٤، صفحة ٦٠).

ب- اقدام التلال : يتراوح زاوية تضرس اقدام التلال في منطقة الدراسة ما بين(٩٠-٥٠)، وبلغت مساحتها (58.9 كم^٢) اي بنسبة (٣٦.٦٧%) من المساحة الكلية لمنطقة الدراسة ، وتشير في جهات متعددة ضمن منطقة الدراسة .

ت- التلال الواطئة : يتراوح زاوية تضرس التلال الواطئة ما بين(٣٠-١١)، وبلغت مساحتها (18.0 كم^٢) اي بنسبة (١١.٢٢%) ، حيث تكون خفيفة الانحدار وهي اراضي اكثر تضرساً تتصف بالتلال الواطئة، حيث يزداد ظهورها على طول الاجزاء المحاذدة بالأقسام الشمالية الممتدة من الشمال الى الجنوب وتظهر في الاقسام الشمالية الغربية والغربية ، ويلاحظ في هذه الاراضي الكثير من المعوقات في استخدامها إلا أنه يمكن استخدامها في الزراعة.

خرطة (٤) تصنیف الانحدار (درجة) في منطقة الدراسة



المصدر: بالاعتماد على نموذج الارتفاع الرقمي DEM ، بدقة (١٥*١٥) م ومحركات Arc map 10.8.

جدول (٣) تصنیف الانحدار(درجة) في منطقة الدراسة

زاوية التضرس	شكل التضرس	المساحة/كم²	النسبة %
٠٤٠°	سهول	83.7	٥٢.١١
٠٩٠٥°	اقدام التلال	58.9	٣٦.٦٧
٣٠٣١°	تلال واطنة	18.0	١١.٢٢
المساحة الكلية			١٠٠
(J. E. Young) . وتصنيف			المصدر: اعتمادا على خريطة (٤) .

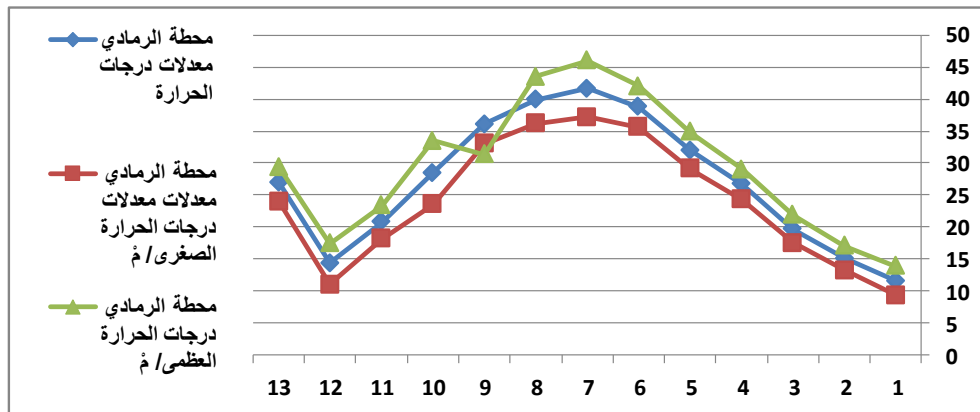
عاشرأ : المناخ
١- درجة الحرارة

ومن تحليل جدول (٤) وشكل (١) ان اعلى معدل لدرجات الحرارة العظمى سجل في شهر تموز اذ بلغ (٤٥.٨)°م وادنى معدل سجل في شهر كانون الأول اذ بلغ (١٧.٦)°م في محطة بغداد ، وفي محطة الرمادي سجل اعلى معدل في شهر تموز اذ بلغ (٤٦.٠)°م وادنى معدل في شهر كانون الثاني (١٣.٨٧)°م ، ان اعلى معدل لدرجات الحرارة الصغرى سجل في شهر اب اذ بلغ (٢٨.٦)°م وادنى معدل سجل في شهر كانون الثاني اذ بلغ (٥.٣)°م في محطة بغداد ، وفي محطة الرمادي سجل اعلى معدل للحرارة الصغرى في شهر تموز اذ بلغ (٣٧.٢)°م وادنى معدل في شهر كانون الثاني (٩.٤)°م ، في حين سجل اعلى معدلات لدرجات الحرارة سجل في شهر تموز اذ بلغ (٣٧.١)°م وادنى معدل سجل في شهر كانون الثاني اذ بلغ (١١.٥)°م في محطة بغداد ، وفي محطة الرمادي سجل اعلى معدل للحرارة الصغرى في شهر تموز اذ بلغ (٤١.٦)°م وادنى معدل في شهر كانون الثاني (١١.٦)°م .

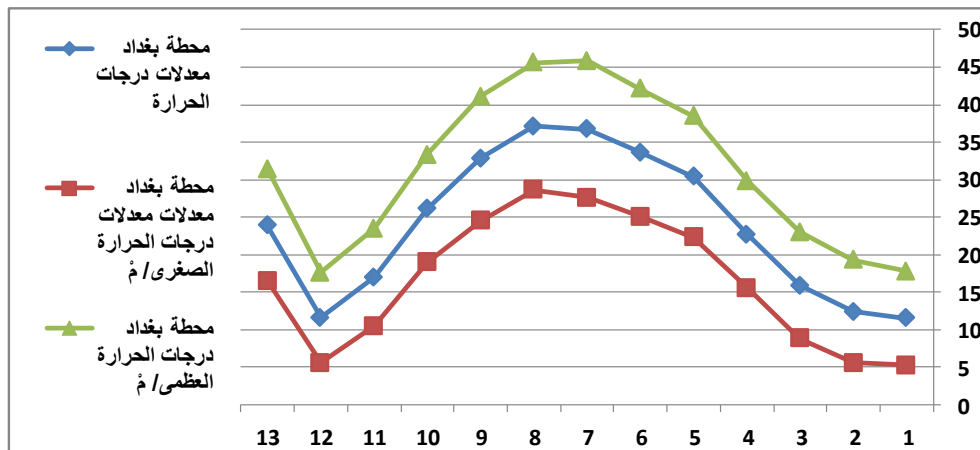
جدول (٤) معدلات درجة الحرارة(°م) المسجلة في محطتي بغداد والرمادي للمدة (٢٠٢٤ - ١٩٩٤)

محطة الرمادي			محطة بغداد			الأشهر
درجات الحرارة العظمى / م	معدلات درجات الحرارة الصغرى / م	معدلات درجة الحرارة / م	درجات الحرارة العظمى / م	معدلات درجات الحرارة الصغرى / م	معدلات درجة الحرارة / م	
١١.٦	٩.٤	١٣.٨٧	١١.٥	٥.٣	١٧.٨	كانون الثاني
١٥.١	١٣.٣	١٧.٠٣	١٢.٤	٥.٦	١٩.٣	شباط
١٩.٧	١٧.٥	٢١.٩٣	١٥.٩	٨.٨	٢٣.٠	اذار
٢٦.٧	٢٤.٣	٢٩.٠٣	٢٢.٧	١٥.٦	٢٩.٨	نيسان
٣٢.٠	٢٩.١	٣٤.٩	٣٠.٤	٢٢.٣	٣٨.٥	ايار
٣٨.٨	٣٥.٦	٤٢.٠٤	٣٣.٦	٢٥.١	٤٢.١	حزيران
٤١.٦	٣٧.٢	٤٦.٠	٣٧.١	٢٧.٦	٤٥.٨	تموز
٣٩.٩	٣٦.٢	٤٣.٥	٣٦.٦	٢٨.٦	٤٥.٦	اب
٣٦.١	٣٣.٠	٣١.٣	٣٢.٨	٢٤.٥	٤١.١	ايلول
٢٨.٥	٢٣.٦	٣٣.٥	٢٦.١	١٩	٣٣.٣	تشرين الأول
٢٠.٨	١٨.٢	٢٣.٤	١٧.٠	١٠.٥	٢٣.٥	تشرين الثاني
١٤.٤	١١.٠	١٧.٤	١١.٦	٥.٦	١٧.٦	كانون الأول
٢٧.٠	٢٤.٠	٢٩.٤	٢٣.٩	١٦.٥	٣١.٤	المعدل

المصدر: جمهورية العراق، وزارة النقل الهيئة العامة لأنواء الجوئية والرصدزلزالي، قسم المناخ، بيانات غير منشورة ، سنة ٢٠٢٣.



شكل (١) معدلات درجة الحرارة(°م) المسجلة في محطة الرمادي للمدة (١٩٩٢ - ٢٠٢٢).
المصدر: اعتماداً على جدول (٤).



شكل (٢) معدلات درجة الحرارة(°م) المسجلة في محطة بغداد للمدة (١٩٩٤ - ٢٠٢٤).
المصدر: اعتماداً على جدول (٤).

٢- الامطار

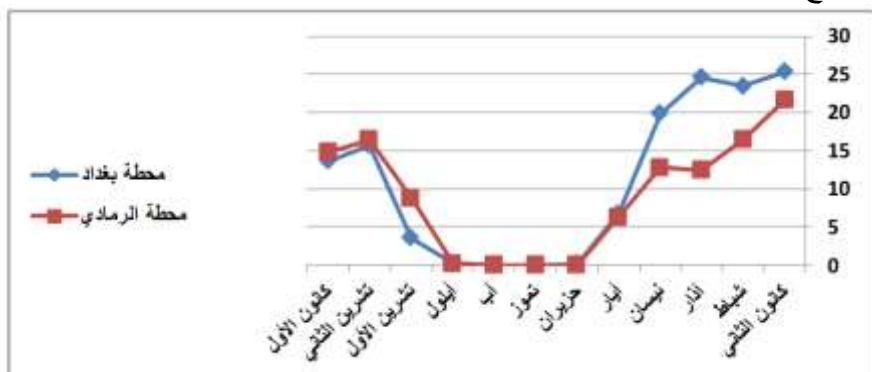
تنصف منطقة الدراسة بقلة كميات امطارها وتذبذبها بين سنة وأخرى ، اذ ينحصر سقوطها ما بين شهر تشرين الأول وشهر أيار يلاحظ جدول (٥) وشكل (٣) وينظر مجموع التساقط السنوي في محطة (١٣٣.٠ ، ١٠٩.٧) ملم على التوالي ويبلغ اعلى مجموع لامطار خلال اشهر (كانون الثاني ، شباط ، اذار) اذ بلغت (٢٥.٣ ، ٢٣.٥ ، ٢٤.٦) على التوالي في محطة بغداد ، في حين سجلت في محطة الرمادي (١٢.٤ ، ١٦.٤ ، ٢١.٦) ملم

وعلى التوالي ، وتنstemر بالتساقط حتى شهر نيسان وهي الفترة التي تدخل منخفضات البحر المتوسط الى العراق ثم تتناقص كمية الامطار اذ تنعدم خلال اشهر الصيف (حزيران ، تموز ، آب) بسبب تردد منخفضات البحر المتوسط الى الشمال ولا تعد مؤثرة على العراق (شلش، ١٩٨٨ ، صفحة ٥٣) .

جدول (٥) معدلات مجاميع الامطار السنوية (ملم) لمحطتي بغداد والرمادي للمدة (١٩٩٤ - ٢٠٢٤)

محطة الرمادي	محطة بغداد	الأشهر	ت
٢١.٦	٢٥.٣	كانون الثاني	١
١٦.٤	٢٣.٥	شباط	٢
١٢.٤	٢٤.٦	آذار	٣
١٢.٨	١٩.٨	نيسان	٤
٦.٣	٦.٧	أيار	٥
.	٠.١	حزيران	٦
.	٠	تموز	٧
.	٠	آب	٨
٠.٢	٠.٢	أيلول	٩
٨.٨	٣.٥	تشرين الأول	١٠
١٦.٤	١٥.٧	تشرين الثاني	١١
١٤.٨	١٣.٦	كانون الأول	١٢
١٠٩.٧	١٣٣.٠	المجموع السنوي	

المصدر: جمهورية العراق، وزارة النقل، الهيئة العامة للأتواء الجوية والرصد الزلزالي، شعبة المناخ، بيانات غير منشورة، سنة ٢٠٢٢



شكل (٣) معدلات مجاميع الامطار السنوية (ملم) لمحطتي بغداد والرمادي للمدة (١٩٩٤ - ٢٠٢٤)

المصدر: بالاعتماد على جدول (٥) .

احد عشر : التربة

وفق خريطة رقم (٥) يتضح أنواع الترب في منطقة الدراسة وهي :

١- التربة القشرية المحلية (Zo- Orthic Solonchaks) :

تعرف قشرة التربة المحلية بانها عبارة عن طبقات رقيقة مضغوطة تتكون على سطح التربة نتيجة ارتفاع درجات الحرارة وارتفاع معدلات الاشعاع الشمسي على سطح التربة وتسبب تشتت وانسداد مسامات التربة (Dekker, 1991, pp. 81-109)، تنتشر قشور التربة المحلية على شكل شريط طولي في الأجزاء الجنوبية الغربية من منطقة الدراسة اذ بلغت مساحتها (١٣.٥ كم^٢) وبنسبة (٦٦٪) من المساحة الكلية لمنطقة الدراسة .

٢- تربة نهرية خصبة (Jc- Calcaric Fluvisols) :

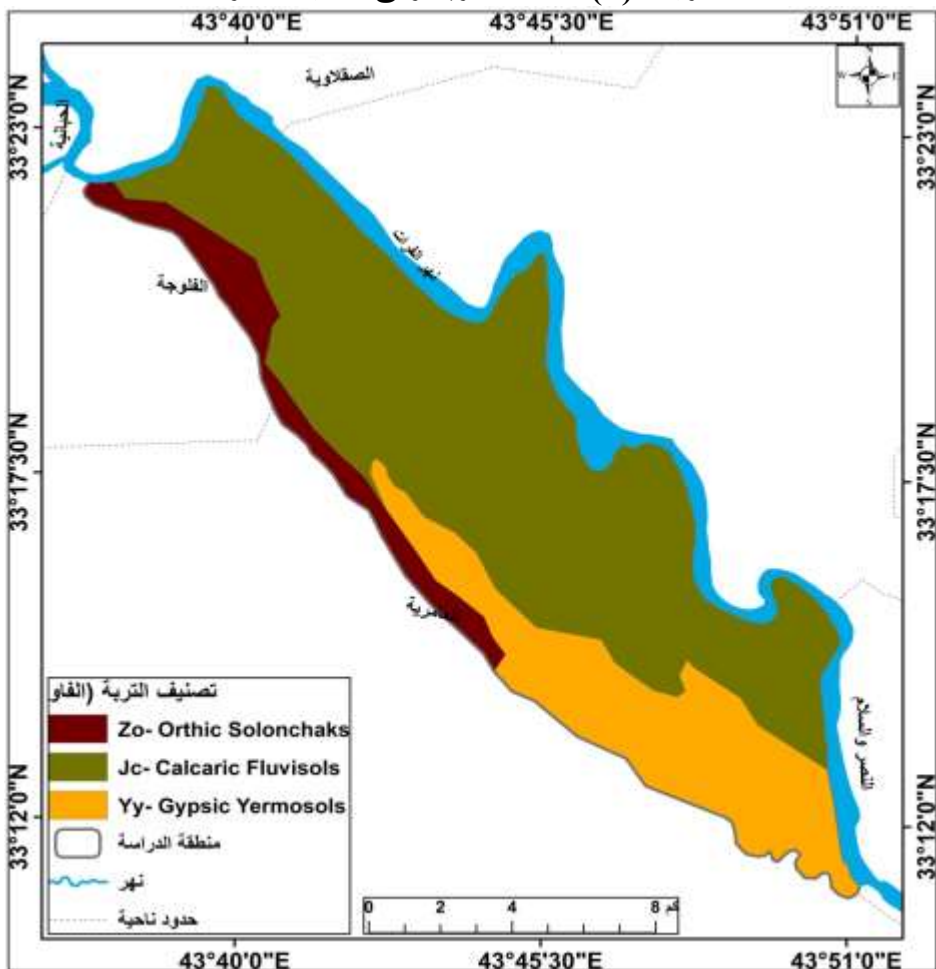
ت تكون هذه التربة على امتداد المجرى المائي الجاري فيه ، لذا فقد انتشرت السهول الفيضية التي كونتها الانهار في اوديتها ودالاتها. واهم مناطق الترب النهرية الخصبة هي السهول الفيضية لكل من دجلة والفرات ، وتعد هذه الترب ترب خصبة، لانها ترب منقوله تكونت من مختلف مناطق الاحواض النهرية وتجمعت مكوناتها وزادت فيها نسبة المادة العضوية وكذلك غنية بالمعادن الازمة لغذاء النبات ونموه، وتتغير خصائص هذه الترب، في المناطق القريبة من مجاري الانهار ترتفع فيها نسبة الرمل، ويظهر ما يعرف بالترب الصفراء الخفيفة والتي تبلغ نسبة الصلصال فيها ٣٠٪، وعندما تبتعد عن مجاري الانهار تستدق الحبيبات وتتحول الى تربة صلصالية تقليل تزيد نسبة الصلصال عن ٦٠٪ ، ويقوم النهر في اثناء الفيضان بنقل التربسات الخفيفة وترسيبها في المناطق المستوية او المناطق بعيدة عن مجرى النهر (العاني، ١٩٨٠ ، صفحة ٤٠). إذ بعدها تترسب المواد الخشنة بجانب النهر تكون حواجز طبيعية او ترب ضفاف الانهار تتميز بارتفاعها النسبي عما يجاورها من الاراضي التي يتراوح ارتفاعها (٤-١) م وتكون هذه الترب من الرمل والغربين وأحياناً ممزوجة بالحصى، فضلاً عن خشونة جزيئاتها وقلة نسبة الأملاح فيها لأنها ذات تصريف طبيعي جيد للمياه (المحمدي، ٢٠٠٤ ، صفحة ٣٨) ، وشغلت التربة النهرية الخصبة مساحة كبيرة من منطقة الدراسة اذ انتشرت في جميع أجزاء المنطقة وبلغت مساحتها (١٠٩.٣ كم^٢) وبنسبة (٢٢٪) من المساحة الكلية لمنطقة الدراسة .

٣- التربة الصحراوية القلوية الجبسية (Yy- Gypsic Yermosols) :

وهي ترب محلية مكونة من ذات الصخور الأساس بسبب التجوية الميكانيكية إلا أنها سرعان ما تنقل غالباً بسبب الرياح فتبقي الهضبة عارية من التربة في أجزاء كبيرة منها، وقد تغطي الرمال مساحات أخرى، وتحتوي هذه الترب على الاقفين الكلسي والجبسي، ضمن فدهما وعادة ما يكون الافق الجبسي تحت الافق الكلسي وذلك بسبب ذوبان الجبس وترسيبها اسفل الكلس، تتصف المنطقة على وجه العموم بقلة الغطاء النباتي مما يعد سبباً رئيساً لندرة محتواها من المواد العضوية وثم قلة صلاحتها للزراعة ، وشغلت التربة الصحراوية القلوية الجبسية مساحة اقل من التربة الخصبة النهرية اذ انتشرت في الأجزاء

الجنوبية من منطقة الدراسة وبلغت مساحتها (37.8 كم^٢) وبنسبة (١٢٪) من المساحة الكلية لمنطقة الدراسة .

خرائط (٥) اصناف التربة وفق تصنيف الفاو



- المصدر: 1- FAO-Unesco, Soil map of the world: 1: 5 000 000.1977
 2- مخرجات برنامج Arc map 10.8

جدول (٦) اصناف ومساحة التربة وفق تصنيف الفاو

النسبة المئوية	مساحة/كم²	الوصف	اصناف رموز التربة وفقا لفاو
٩.٦٦	13.5	ترب القشرة الملحيّة	Zo- Orthic Solonchaks
٧٠.٢٢	109.3	تربة نهرية خصبة	Jc- Calcaric Fluvisols
٢٠.١٢	37.8	الترب الصحراوية القلوية الجبسية	Yy- Gypsic Yermosols
١٠٠	160.6	المساحة الكلية	

المصدر: بالاعتماد على خريطة (٥).

اثني عشر : الموارد المائية

تتمثل الموارد المائية في منطقة الدراسة وبشكل رئيس بمصدرين أساسين، هما:

١ - المياه السطحية :

بعد نهر الفرات المصدر الأساسي للمياه السطحية في منطقة الدراسة الذي يقع إلى الغرب والجنوب الغربي من منطقة الدراسة، الذي يقوم بأرواه الأرضي المحاذية له. وتحتوي مياه نهر الفرات على نسبة من الأملاح التي تسهم في عملية التملح في منطقة الدراسة، حيث تختلف مياه النهر باختلاف الفصول، ففي فصلي الصيف والخريف تزداد نسبة الأملاح الذائبة في نهر الفرات وذلك يعود إلى قلة تصريف النهر وزيادة التبخر، وعلى عكس ذلك في فصلي الشتاء والربع ، فضلاً عن نهر الفرات.

٢ - المياه الجوفية :

تتميز المياه الجوفية في منطقة الدراسة بارتفاع نسبة الأملاح الذائبة كأملاح الكالسيوم والمغنيسيوم والصوديوم والكلوريد بنسبة عالية ويز تأثير المياه الجوفية في منطقة الدراسة بعاملين اساسيين هما الخاصية الشعرية أو استخدام المياه الجوفية من أجل السقي، حيث يقوم المزارعون بحفر الآبار في المناطق التي يصعب وصول الماء إليها، فضلاً عن أن الوضع الاقتصادي الذي مر به البلد أجبر الفلاحين على زراعة المناطق الصحراوية باستخدام المياه الجوفية، لم يقتصر على المناطق الصحراوية فحسب بل شمل سهل الصقلاوية بسبب قلة الحصة المائية الصيفية مما اضطر الفلاح إلى استخدام المياه الجوفية أما بطريقة حفر الآبار أو استخدام مياه البزل في عملية السقي.

ثلاثة عشر : الغطاء النباتي

ومن الدراسة يتبيّن أن الغطاء النباتي في منطقة الدراسة يتصف بقلة كثافته، والتوزيع غير المنتظم الذي يمثل انعكاساً حقيقياً لأنواع التربة وظروف المناخ السائد ، ولبيان كثافة

الغطاء النباتي واماكن تواجده ثم اشتقاق دليله ($NDVI^{(1)*}$) لابد من استخدام برنامج (ERDES) من خلال استخدام برنامج (Arc map) والاستعانة بمرئيات القمر الصناعي (Land Sat) اذ تم تصنيف النبات الطبيعي في منطقة الدراسة الى خمس مناطق ، كما موضح من الخريطة (٦) والجدول (٧) وكما يلي :

١ - اراضي الجرداء :

وتمثل هذه المناطق عندما تكون مؤشر التغطية النباتية (٠.١٠-٠.١٠) وتكون هذه الاراضي معروفة القيمة في الزراعة والري وتكون اراضي جافة مليئة بالشقوق والاخاديد وتحتل مساحة تبلغ (32.9 كم^2) وبنسبة (%) ٣٠٠٣ وتمثل هذه الاراضي في اجزاء محددة من منطقة الدراسة وتحديد في الأجزاء الجنوبية والشمالية الغربية .

٢ - مناطق قليلة الكثافة :

وهي مناطق التي يتراوح بها مؤشر التغطية النباتية ما بين (٠.٣٠-٠.١١) وتتمو فيها النباتات القصيرة وتبلغ مساحة هذه الاراضي (40.5 كم^2) وبنسبة (%) ٢٦.١٢ من المساحة الكلية لمنطقة الدراسة، وهي اكبر المناطق من حيث المساحة ، وتنشر بصورة متفرقة على شكل جزيئات صغيرة في معظم اجزاء المنطقة .

٣ - نباتات متوسطة الكثافة :

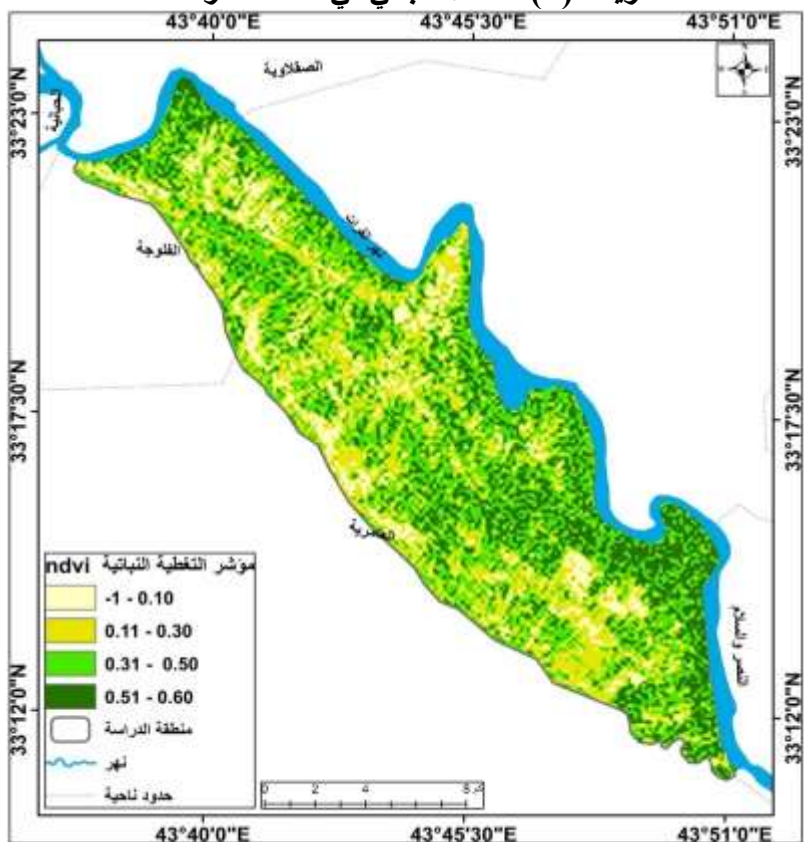
وهي مناطق التي تتراوح بها درجة مؤشر التغطية النباتية ما بين (٠.٥٠-٠.٣١) ويكون انتشار النباتات بكثافة متوسطة وتكون عشبة قصيرة الاجل وغالبا ما تكون حولية ذات جذور طويلة وقد شغلت مساحة كبيرة مقارنة مع باقي المناطق اذ بلغت مساحتها (50.9 كم^2) وبنسبة (%) ٣٢.٢٦ من المساحة الكلية لمنطقة الدراسة، وانتشرت في اجزاء واسعة ضمن منطقة الدراسة .

٤ - نباتات عالية الكثافة :

وهي مناطق التي تتراوح بها درجة مؤشر التغطية النباتية ما بين (٠.٥٠-٠.٥١) وهي مناطق تميز بكافتها العالية للتواجد النباتي وتنشر بشكل واضح بالقرب من مجاري الانهار وخاصة ضفاف الانهار وذلك لخصوصيتها وتتوفر جميع متطلبات نمو النباتات اذ بلغت مساحتها (36.3) وبنسبة (%) ٢١.٢٣ من المساحة الكلية لمنطقة الدراسة .

(Normalized Difference Vegetation index) NDVI *

خرطة (٦) الغطاء النباتي في منطقة الدراسة



المصدر: بالاعتماد على المرئية الفضائية، بدقة تميز ٣٠ متر، ومخرجات برنامج Arc.map 10.8.

جدول (٧) مؤشر الغطاء النباتي (NDVI) مساحتها ونسبتها المئوية (%) في منطقة الدراسة

الفئات	قيمة المؤشر	الوصف	المساحة/كم²	النسبة المئوية
1	-1- 0.10	جرداء	32.9	٢٠.٠٣
2	0.11-0.30	ضعيفة	40.5	٢٦.١٢
3	0.31-0.50	متوسطة	50.9	٣٢.٦٢
4	0.51-0.60	كثيفة	36.3	٢١.٢٣
المساحة الكلية				١٠٠
(٦) اعتماداً على خريطة (٦)				

ويمكن معرفة مدى صلاحية التربة ودرجة ملوحتها من خلال بعض النبات الطبيعي ، إذ يستدل المزارعون في تحديد صلاحية الترب من النبات اذا نباتات (العلاقول) دليل على صلاحية التربة للزراعة ، في حين نبات الطرفة يعد مؤشر لملوحة الترب ، وان الانتاج النباتي للحولييات في فصل الربيع يكون اعلى من المعمرات ، لأن الحولييات لا تستنزف الرطوبة من الطبقات العميقة لقصر جذرها لذا فهي لا تتنافس مع النباتات المعمرة من اجل الماء ، لكنها تمتصه من عمق لا يزيد عن ٤٠ سم في اغلب الأحوال وبالعكس يزداد في الخريف الانتاج النباتي للمعمرات عنه في الحولييات ، بسبب الطبيعة الجذرية للنباتات المعمرة ، والتي تمتد الى اعماق كبيرة قد تزيد عن عشرة امتار في حالة الشجيرات التي لا يزيد ارتفاع مجموعها عن مترين مما يجعلها مؤهلة للحصول على الماء من الطبقات العميقة.

أربعة عشر :-**التحليل المكاني للتغيرات المورفولوجية للتربة في منطقة الدراسة باستخدام المؤشرات الطيفية.**

١- مؤشر الاختلاف الخضري الطبيعي (NDVI)

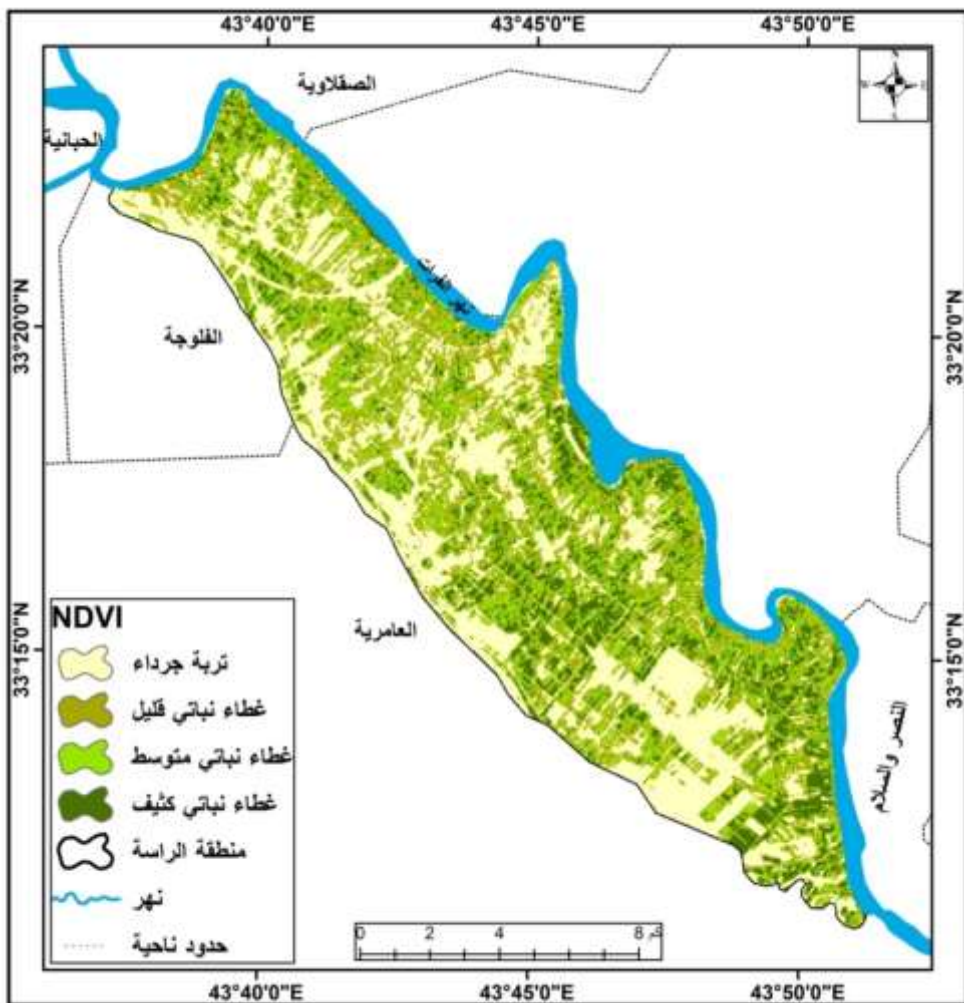
تشير الدراسات والبحوث الحديثة الى امكانية استخدام تقنيات الاستشعار من بعد في تقييم حالات التدهور بالاعتماد على دليل الاختلاف الخضري الطبيعي (NDVI) (شلال، Ruse,et,al, ٢٠٠٧ ، صفحة ٢٦٥)، واول من اقترح مؤشر الاختلاف الخضري من قبل (١٩٧٣) في جامعة تكساس لتشخيص وكشف نوع وكثافة الغطاء النباتي. اما المجالات الطيفية المستعملة لهذا المؤشر هي الفناء الرابعة الحمراء (Red) والخامسة تحت الحمراء القرية (Nearinfrared) من القمر الصناعي (Landsat 5) (fadhil, Droujht Mapping using geo information, 2011, p. 239).

تم تصنيف (NDVI) الى اربعه فئات حسب منطقه الدراسة وتحسب قيمة مؤشر الاختلاف الخضري الطبيعي حسب المعادلة (خلف، ٢٠١٥ ، صفحة ١١٧) :

$$NDVI = \frac{Nearinfrered - Red}{Nearinfrered + Red}$$

تتراوح قيم هذا الدليل بين (-١ ، +١) اذ تشير الى وجود غطاء نباتي ويزداد كلما اقتربت من (١) وتنقل كلما اقتربت من (-١).

خرطة (٧) مؤشر التغطية النباتية NDVI لسنة ١٩٩٤



المصدر: Landsat: ٥ لسنة ١٩٩٤ بتاريخ ٢٣/٣/١٩٩٤

خرطة (٨) مؤشر التغطية النباتية NDVI لسنة ٢٠٢٤



المصدر: Landsat ٨ لسنة ٢٠٢٤/٣/٢٣ بتاريخ ٢٠٢٤/٣/٢٣
جدول (٨) نسبة التغير لمؤشر التغطية النباتية NDVI

نسبة التغير (%)	الفرق (٢٠٢٤ - ١٩٩٤)	مساحة/كم ^٢		الوصف
		٢٠٢٤ سنة	١٩٩٤ سنة	
+5.94%	+3.5	62.4	58.9	تربة جرداء
+9.61%	+3.9	44.5	40.6	غطاء نباتي قليل
-13.39%	-4.7	30.4	35.1	غطاء نباتي متوسط
-10.38%	-2.7	23.3	26.0	غطاء نباتي كثيف
		160.6	160.6	المجموع

المصدر : بالاعتماد على خريطة (٧,٨).

تشير النتائج إلى تراجع واضح في المساحات التي يغطيها الغطاء النباتي المتوسط والكثيف، إذ بلغت نسبة التراجع ١٣.٣٩٪ ١٠.٣٨٪ على التوالي خلال الفترة بين عامي ١٩٩٤ و ٢٠٢٤ ، في حين ارتفعت مساحة التربة الجرداء بنسبة ٥.٩٪، مما يدل على مؤشرات تدهور بيئي في المنطقة المدروسة.

وبعد تطبيق المعادلة تبين ان اعلى غطاء النباتي هي سنة (١٩٩٤) بلغ معدلها (٢٦.٠ كم^٢) في شهر اذار شهر (٣) واقل قيمة في سنة ٢٠٢٤ بلغ معدلها (٢٣.٣ كم^٢). تم تصنيف منطقة الدراسة الى اربعة اصناف ، الصنف الاول الخالية من النبات وهو الصنف الاكثر سيادة في سنة (٢٠٢٤) شغل مساحة (٦٢.٤ كم^٢) واقل سيادة في سنة (١٩٩٤) فقد شغل مساحة (٥٨.٩ كم^٢) اي بمقدار تغير (+١٣.٥)، اما الصنف الثاني هو غطاء نباتي قليل فقد شغل مساحة (٤٤.٥ كم^٢) في سنة (٢٠٢٤) ااما في سنة (١٩٩٤) شغل مساحة (٤٠.٦ كم^٢) وبمقدار تغير (+٣.٩) وبنسبة تغير (٩.٦١٪) ااما الصنف الثالث هو غطاء نباتي متوسط فقد شغل مساحة (٣٥.١ كم^٢) في سنة (١٩٩٤) وشغل مساحة (٣٠.٤ كم^٢) في سنة (٢٠٢٤) بمقدار تغير (-٤.٧) وبنسبة (١٣.٣٩٪).

اما الصنف الرابع هو غطاء نباتي كثيف شغل مساحة (٢٦.٠) في سنة (١٩٩٤) وشغل مساحة (٢٣.٣ كم^٢) في سنة ٢٠٢٤ بمقدار تغير (-٢.٧) وبنسبة (١٠.٣٨٪) من اجمالي مساحة المنطقة المدروسة.

٢- مؤشر الغطاء النباتي المعدل للتربة (SAVI)

يتميز هذا المؤشر عن غيره من مؤشرات النبات بأنه اكثر فعالية في تقدير تأثير سطوح التربة في المناطق ذات التغطية الجزئية التي تكثر فيها المحاصيل الزراعية قليلة الخضرة وتزيد فيها المساحة المتباude حيث يكون من الصعب الفصل بين انعكاس التربة وانعكاس المحاصيل ضمن الخلية الواحدة هذا الامر يتطلب عليه حدوث خطأ في تقدير مقدار التغطية النباتية، يتطلب هذا المؤشر تصحيحات للتربة مثل معامل السطوع من خلال عمليات التربة على اساس كمية الغطاء النباتي في منطقة الدراسة .

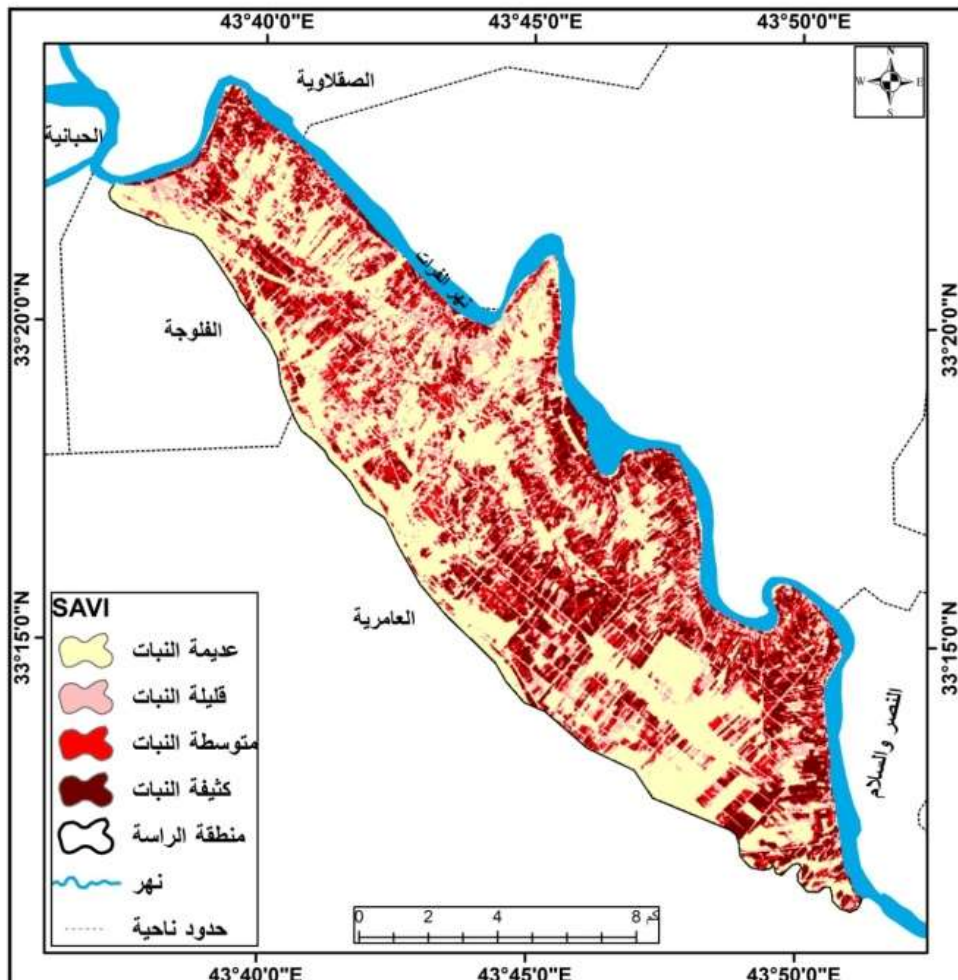
قد طور هذا المؤشر من قبل (Rondeaurx) وزملائه عام (١٩٩٤) وضعوا قيمه ثابتة (L) وهي (٠.١٦) بدلاً من القيمة المتغيرة في المؤثر (SAVI) الذي طوره (Huete) عام (١٩٨٨) الذي يعتمد على نطاق الأشعة تحت الحمراء القرية (NIR) ونطاق الأشعة الحمراء (Red) يتراوح المدى الديناميكي (-١, +١) يتم حسابه حسب المعادلة (refer, p ١٨. 2018):

$$SAVI = \frac{Nir - Red}{Nir + Red} \cdot 1 + L$$

وتكشف الخريطة رقم (٩) ان القيمة الصورية القريبة من (+1) تدل على وجود النبات الكثيف وان القيمة الصورية القريبة من (-1) تدل على عدم وجود غطاء نباتي ولقد بين من

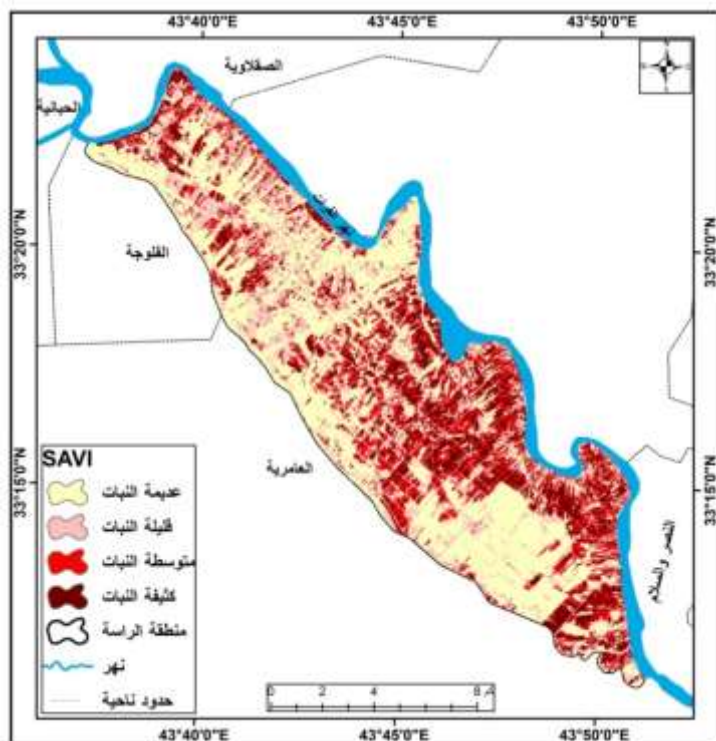
الخريطة رقم (٩) وجدول رقم (٩) ان هناك اربع فئات للغطاء النباتي شغلت الفئه الاولى
الداخلية من النبات سنة ١٩٩٤ مساحة (٥٨٠ كم^٢)

خريطة (٩) مؤشر دليل النبات المعدل للتربة SAVI لسنة ١٩٩٤



المصدر: Landsat ٥ لسنة ١٩٩٤ بتاريخ ٢٣/٣/١٩٩٤

خرطة (١٠) مؤشر دليل النبات المعدل للتربة SAVI لسنة ٢٠٢٤



المصدر: Landsat ٨ لسنة ٢٠٢٤ بتاريخ ٢٣/٣/٢٠٢٤
جدول (٩) نسبة التغير لمؤشر دليل النبات المعدل للتربة SAVI

نسبة التغير (%)	الفرق - ٢٠٢٤ - (١٩٩٤)	مساحة/كم ^٢		الوصف
		٢٠٢٤ سنة	١٩٩٤ سنة	
+6.72%	+3.9	61.9	58.0	عديمة النبات
+11.75%	+4.7	44.7	40.0	قليلة النبات
-11.88%	-4.1	30.4	34.5	متوسطة النبات
-7.42%	-1.9	23.7	25.6	كثيفة النبات
		160.6	160.6	المجموع

المصدر : بالاعتماد على خريطة (٩،١٠).
تشير البيانات إلى تغيرات في مساحة الغطاء النباتي للمدة (١٩٩٤ و ٢٠٢٤). هناك زيادة في المساحات عديمة النبات بنسبة ٦.٧٢٪، وكذلك في المناطق قليلة النبات بنسبة ١١.٧٥٪. في المقابل، شهدت المناطق ذات الغطاء النباتي المتوسط والكثيف انخفاضاً

بنسب ١١.٨٨% و ٧.٤٢% على التوالي. تعكس هذه التغيرات احتمالية تدهور الغطاء النباتي وتحول المناطق الخضراء إلى مناطق ذات نبات أقل كثافة أو حتى عديمة النبات، وهو ما قد يشير إلى تأثيرات بيئية مثل التصحر أو تغير استخدامات الأراضي.

اما في سنة ٢٠٢٤ شغلت مساحة (٦١.٩ كم^٢) وكان الفرق بين السنين (+٣.٩%) بنسبة تغير (٨.٧٢%) وشغلت الفئة الثانية وهي قليلة النبات سنة (١٩٩٤) (٤٠.٠ كم^٢) بينما شملت مساحة (٤٤.٧ كم^٢) في سنة (٢٠٢٤) وقد كان الفرق بين السنين (٤.٧%) وبنسبة تغير (١٣.٥%) اما الفئة الثالثة وهي متوسطة النبات شغلت مساحة في سنة (١٩٩٤) (٣٤.٥ كم^٢) وشغلت مساحة (٣٠.٤ كم^٢) في سنة ٢٠٢٤ وكان الفرق بين السنين (-١.٤%) بنسبة تغير (١١.٨٨%) اما الفئة الرابعة وهي كثيفة النبات فقد شغلت مساحة في سنة ١٩٩٤ (٢٥.٦ كم^٢) بينما شغلت مساحة (٢٣.٧ كم^٢) وقد كان الفرق بين السنين (-١.٩%) وبنسبة تغير (٧.٤٢%).

وتشير البيانات ان هناك تغيرات في الغطاء النباتي للمدة (٢٠٢٤-١٩٩٤) هناك زيادة في المساحات عديمة النبات بنسبة (٦.٧٢%) وكذلك المناطق قليلة النبات بنسبة (١١.٧٥%) وقد شهدت المناطق ذات الغطاء النباتي المتوسط والكثيف انخفاضاً بنس (١١.٨٨%) (٧.٤٢%) (وتعكس هذه التغيرات احتمالية تدهور الغطاء النباتي وتحول المناطق الخضراء إلى مناطق ذات نبات أقل كثافة او عديمة النبات وهذا يشير الى تأثيرات بيئية مثل التصحر او تغير استخدامات الارضي .

٣- مؤشر دليل المياه (WI)

قدم هذا المؤشر لأول مرة من قبل (Cao) عام (١٩٩٨) ويتم استخدام المؤشر لتميز ومراقبة الأجسام المائية عن الارضي الأخرى. حيث ان الترب الجافه تكون اكثر دكانه على المرئيات الفضائية وهذا يرجع الى امتصاص طاقة الاشعاع الساقطة من قبل المياه التي تخزنها التربة مسبيه انخفاض كمية الجزء المنعكس الى المتنفس. هذا المؤشر يعتمد على الأشعة تحت الحمراء القريبة (NIR) والأشعة تحت الحمراء القصيرة وهذا المؤشر يتراوح بين (١ - +١) ويساعد في تميز ومراقبة حالة الكتل المائية السطحية ويميزها عن المظاهر الارضية الأخرى.

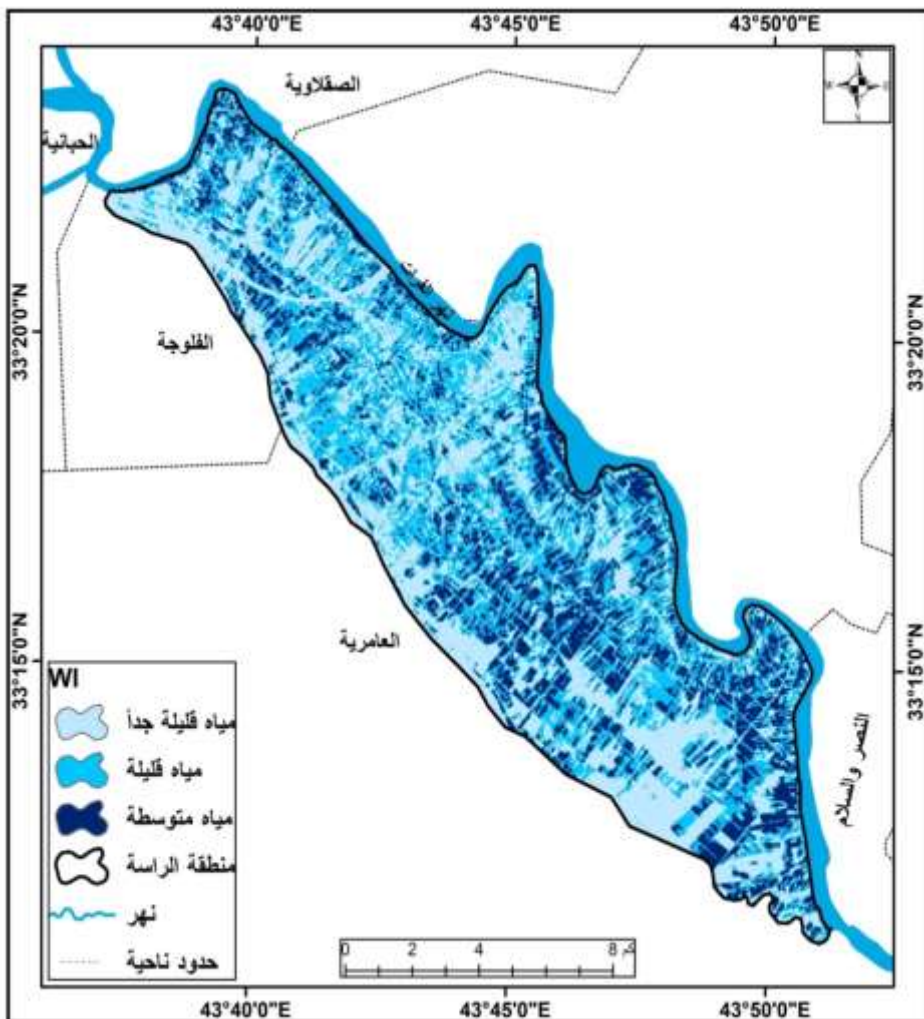
$$NDWI = (Green - Nir)/(Green + Nir)$$

اهم ما يميز هذا المؤشر هو الاستبانة العالية والتغطية المكانية الجيدة في جميع التضاريس ولا يختلف عن مؤشر (NDVI) لان هذين المؤشرتين يرصدان الاشارات المختلفة عن استخدامات شائعة ومراقبة الجفاف الذي يؤثر على الزراعة .

حسب هذا المؤشر تم تصنيف منطقة الدراسة الى ثلاث أصناف الصنف الاول الارضي القليلة المياه جداً شغلت مساحة (٦١.٥ كم^٢) عام (١٩٩٤) وشغلت مساحة (٦٣.٦ كم^٢) في عام (٢٠٢٤) بنسبة تغير (٣٢.١%) وبفرق (٥٢.٢٠%) اما الصنف الثاني صنف المياه القليلة

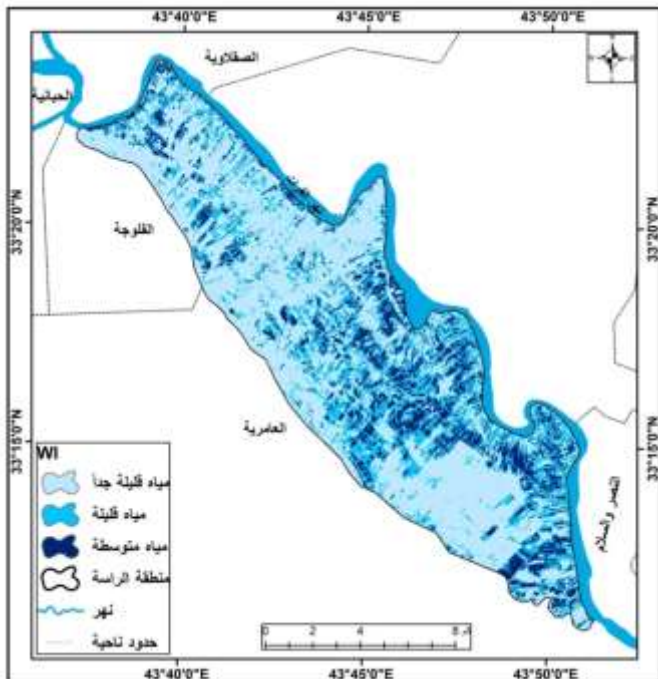
شغلت مساحة (٦٢.٦ كم²) في عام (١٩٩٤) وشغلت مساحة (٤١.٢ كم²) في عام (٢٠٢٤) بنسبة (٣٤.١٨%) وبفرق (-٢١.٤%).

خرطة (١١) مؤشر دليل مياه للتربة WI لسنة ١٩٩٤



المصدر: Landsat ٥ لسنة ١٩٩٤ بتاريخ ١٩٩٤/٣/٢٣

خرطة (١٢) مؤشر دليل مياه للتربة WI لسنة ٢٠٢٤



المصدر: Landsat ٨ لسنة ٢٠٢٤ ب تاريخ ٢٣/٣/٢٠٢٤
جدول (١٠) نسبة التغير لمؤشر دليل مياه للتربة WI

نسبة التغير (%)	الفرق (- ٢٠٢٤) (١٩٩٤)	مساحة/كم ^٢		الوصف
		٢٠٢٤	١٩٩٤	
52.20%	32.1	93.5	61.4	مياه قليلة جداً
-34.18%	-21.4	41.2	62.6	مياه قليلة
-29.23%	-10.7	25.9	36.6	مياه متوسطة
		160.6	160.6	المجموع

المصدر : بالاعتماد على خريطة (١١,١٢).

توضح نتائج مؤشر الرطوبة (WI) تغيرات متفاوتة بين عامي ١٩٩٤ و ٢٠٢٤ . فقد شهدت إحدى فئات "المياه القليلة جداً" ارتفاعاً كبيراً بنسبة ٥٢.٢٠+ %، بينما انخفضت الفئة الأخرى بنسبة ٣٤.١٨%. كما تراجعت فئة "المياه المتوسطة" بنسبة ٢٩.٢٣- %. وتشير هذه التغيرات إلى وجود تباين مكاني أو زمني في توزيع الرطوبة، وقد تعكس تأثيرات

مباشرة للجفاف أو التغيرات المناخية أو أنشطة الاستخدام البشري للأراضي الزراعية والمائية.

اما الصنف الثالث هو صنف المياه المتوسطة شغل مساحة (٣٦.٦ كم²) في عام (١٩٩٤) وشغل مساحة (٢٥.٩ كم²) في عام (٢٠٢٤) بنسبة (٢٩.٢٣%) وبفرق (١٠.٧-) شهدت فئة المياه القليلة جداً ارتفاعاً كبيراً بنسبة (٥٢.٢٠%) بينما انخفضت فئة المياه القليلة الى (٣١.١٨%) كما تراجعت فئة المياه المتوسطة بنسبة (٢٩.٢٣%) وهذا يشير الى وجود تباين مكاني و زمني في توزيع الرطوبة وهذا يعكس تأثيرات مباشرة للجفاف او التغيرات المناخية او انشطة الاستخدام البشري للأراضي الزراعية والمائية .

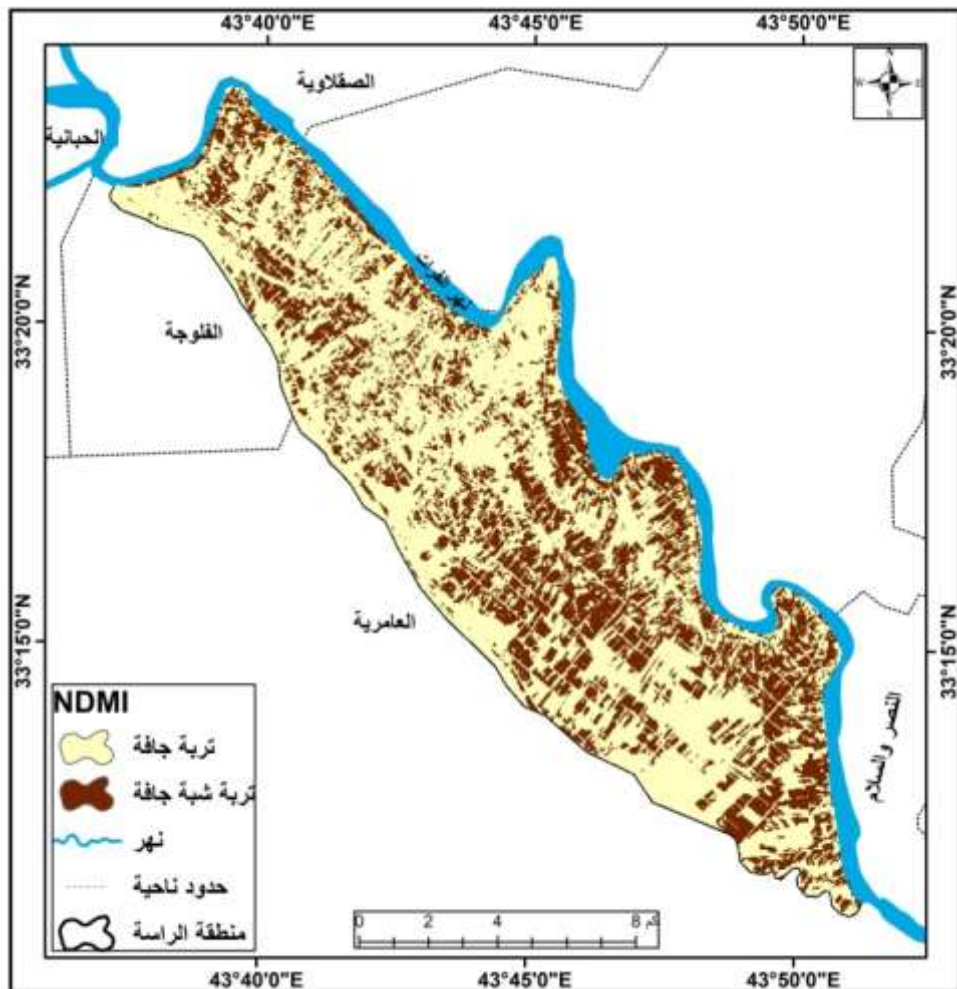
٤- مؤشر اختلاف الرطوبة القياسي (NDMI)

تم الترويج لمؤشر المياه النباتية بواسطة (Gue) في عام ١٩٩٦ حيث يأخذ (NIR) الاشعة تحت الحمراء القريبة كنطاقاً موجه مرجعي بأسستخدام الأشعة تحت الحمراء القصيرة (SWIR) للحصول على معلومات المحتوى الرطوبى للجزء الخضري تتأثر الكثير من الخصائص الكيميائية والفيزيائية والبيولوجية للتربة بمقدار ونوعية محتواها الرطوبى كما هو الحال في القابلية للتشكل واللدانة والمتانة والزروجة والنفاذية ونوع التفاعلات الكيمياوية السائرة في محلول التربة وتحرير العناصر الكيميائية وعملية الاكسدة والاختزال والذوبان داخل التربة لمعظم المواد التي يحتاجها النبات فضلاً عن حالة التهوية (Zaatipour, p, ٣١)، ويحسب مؤشر (NDMI) بالمعادلة الآتية (Hong-Weizhong & Hual, 2015, ٤) :

$$NDMI = (NIR - SWIR) / (NIR + SWIR)$$

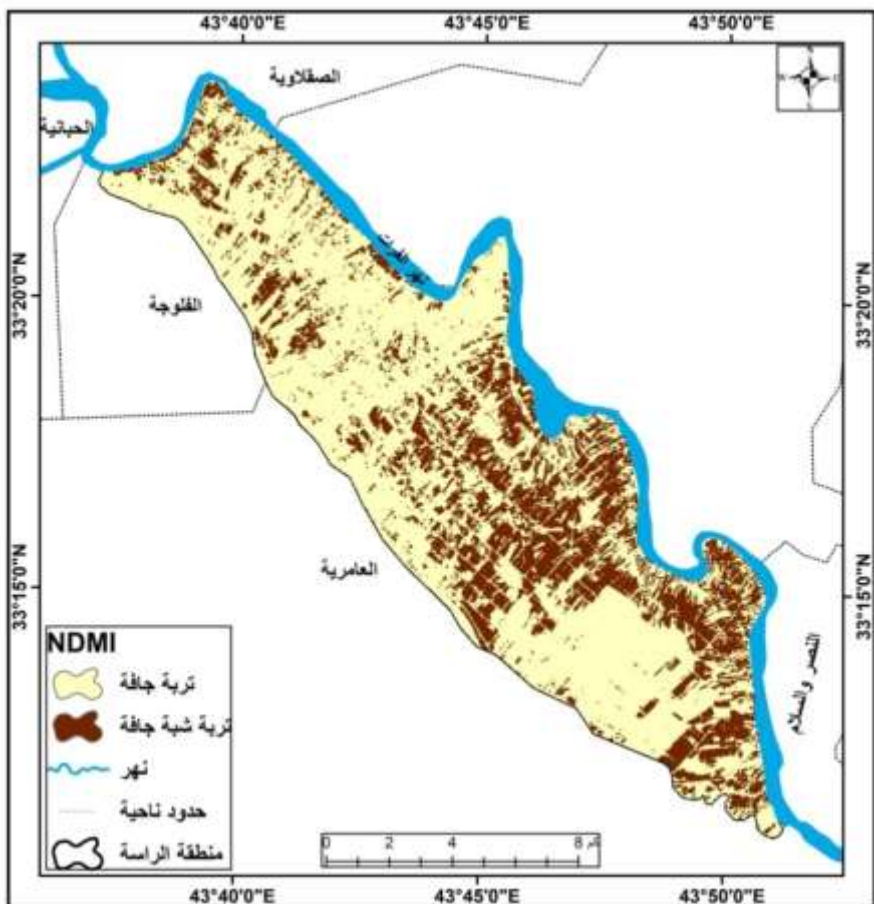
ويتم الكشف عن التغير من خلال تصنیف منطقة الدراسة حسب مؤشر الرطوبة القياسي الى صنفين وهي صنف التربة الجافة شغل مساحة (١٠٢.٣ كم²) في عام (١٩٩٤) وشغل مساحة (١١٠.٧ كم²) في عام (٢٠٢٤) بنسبة تغير (٨.٢١%) وبفرق (٨.٤)، وصنف التربة الشبه جافه شغل مساحة (٥٨.٣ كم²) في عام (١٩٩٤) وشغل مساحة (٥٠ كم²) وبنسبة (١٤.٢٣%) وبفرق (٨.٣). ان ازيداد التربة الجافة بنسبة (٨.٢١%) يشير الى تفاقم الجفاف او التدهور في رطوبة التربة وان انخفاض التربة شبه الجافه بنسبة (١٤.٢٣%) يدل على تحولها الى مناطق اكثر جفافاً بفعل التغير المناخي او الضغط البشري (مثل الزراعة او الرعي الجائر) .

خريطة (١٣) لمؤشر NDMI لسنة ١٩٩٤



المصدر: Landsat ٥ لسنة ١٩٩٤ بتاريخ ٢٣/٣/١٩٩٤

خرطة (١٤) لمؤشر NDMI لسنة ٢٠٢٤



المصدر: Landsat ٨ لسنة ٢٠٢٤ بتاريخ ٢٣/٣/٢٠٢٤
جدول (١١) نسبة التغير لمؤشر NDMI

نسبة التغير (%)	الفرق (- ٢٠٢٤) (١٩٩٤)	مساحة/كم ^٢		الوصف
		٢٠٢٤	١٩٩٤	
+8.21%	+8.4	110.6	102.3	تربيه جافة
-14.23%	-8.3	50	58.3	تربيه شبه جافة
		160.6	160.6	المجموع

المصدر : بالاعتماد على خريطة (١٤، ١٣).

- ازدياد التربة الجافة بنسبة ٨.٢١٪ يشير إلى تفاقم الجفاف أو التدهور في رطوبة التربة.
- انخفاض التربة شبه الجافة بنسبة ١٤.٢٣٪ قد يدل على تحولها إلى مناطق أكثر جفافاً بفعل التغير المناخي أو الضغط البشري (مثل الزراعة والرعى الجائر).

٥- مؤشر القشرة البيولوجية (CI)

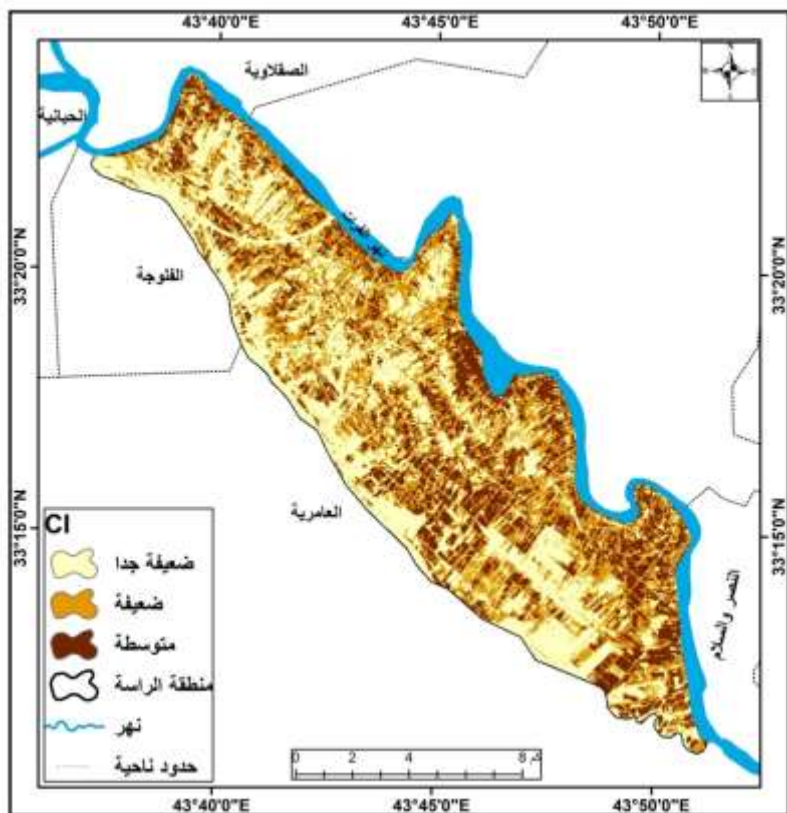
تعتبر التربة القلب النابض للطبقة الحية من الأرض لأنها المكان الذي يستخدمه النبات في غذائه ويعتمد النبات على ما تحتويه التربة من مخزون من المواد العضوية والمعدنية والماء والهواء (مظفر، ٢٠١٥ ، صفحة ٢٨).

يستخدم هذا المؤشر لرصد الطبقة الرقيقة غير المنفذة لأنها تعد صورة من صور تدهور الاراضي والتي تحدث بتأثير مجموعة كبيرة من العوامل الفيزيائية والكيميائية وتعتبر صور من التدهور الفيزيائي للأرض ويختلف شكل وسمك الطبقات السطحية في الاراضي المختلفة وت تكون القشرة بطرق مختلفة ينتج عنها توزيع وترتيب الوحدات الأرضية (والى و أبوا الخير، ٢٠٠٤ ، صفحة ٣٤١)، وبحسب نظام معين يتسبب في انقسام الطبقات الرقيقة عن كثلة الأرض التي توجد أسفلها وتكون هذه القشور مستمرة أو متكسرة ومتقلقة في صلابتها واندماجها ونفاديتها حيث تكون شديدة الصلابة عند الجفاف وشديدة المقاومة للاختراق وتتأثر سلباً على نمو النبات وتعتبر القشرة من المشاكل الملحة في المناطق الجيرية التي تقع في الاراضي الجافه وشبه الجافة.

يتراوح قيم هذا المؤشر بين (٢٠) كلما اقتربت من الصفر دل ذلك على قشرة ضعيفة جداً وكلما اقترب من (٢) دل على أنها قوية جداً وبحسب المعادلة الآتية :

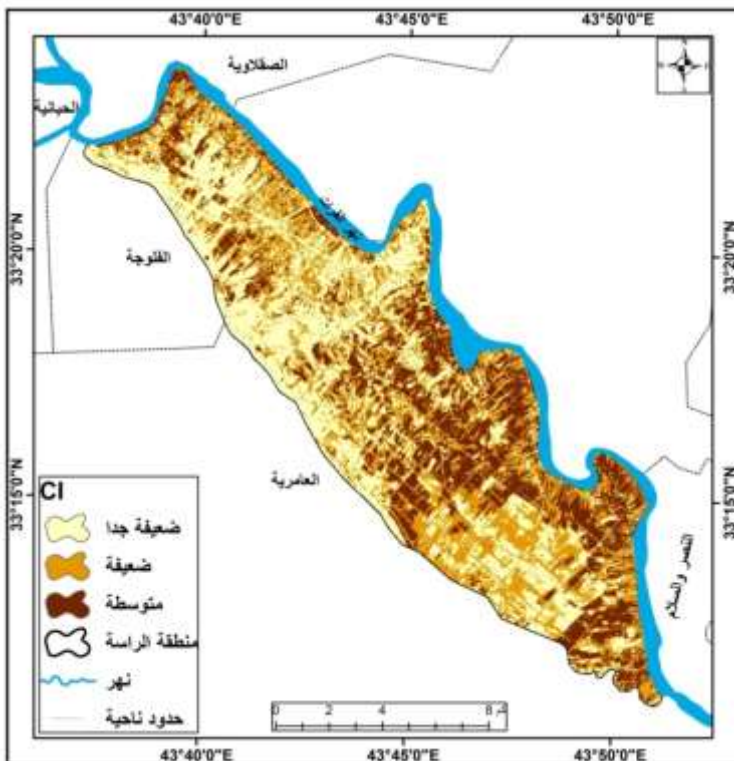
$$CI = (Red - Blue) / (Red + Blue)$$

خرطة (١٥) لمؤشر CI لسنة ١٩٩٤



المصدر: Landsat ٥ لسنة ١٩٩٤ بتاريخ ٢٣/٣/١٩٩٤

خرطة (١٦) مؤشر CI لسنة ٢٠٢٤



المصدر: Landsat ٨ لسنة ٢٠٢٤ بتاريخ ٢٣/٣/٢٣
جدول (١٢) نسبة التغير لمؤشر CI

نسبة التغير (%)	الفرق (٢٠٢٤ - ١٩٩٤)	مساحة/كم ^٢		الوصف
		٢٠٢٤	١٩٩٤	
-5.35%	-3.4	60.2	63.6	ضعيفة جداً
1.90%	1.1	59.1	58	ضعفة
6.15%	2.4	41.3	39	متوسطة
		160.6	160.6	المجموع

المصدر : بالاعتماد على خريطة (١٦، ١٥).
رغم تراجع بعض مؤشرات الغطاء النباتي وفق NDVI، إلا أن الزيادة الطفيفة في مساحات القشرة البيولوجية المتوسطة (CI) تعكس استجابة محلية موجبة قد تعود إلى

انخفاض الضغط البشري في بعض المناطق، أو استقرار طفيف في رطوبة التربة، وفق مؤشر NDMI مما يشير إلى أن مؤشرات التدهور لا تتبع مساراً موحداً في كل المواقع. تم تصنيف منطقة الدراسة إلى ثلاثة أصناف الصنف الأول هو القشرة الضعيفة جداً شغل مساحة (٦٣.٦ كم^٢) في عام (١٩٩٤) وشغل مساحة (٦٠.٢ كم^٢) في سنة (٢٠٢٤) بنسبة تغير (٥٥.٣٥ %) بفرق (-٣.٤)، أما الصنف الثاني القشرة الضعيفة وشغل مساحة (٥٨ كم^٢) في عام (١٩٩٤) وشغل مساحة (٥٩.١ كم^٢) وبنسبة (١١.٩٠ %) وبفرق (١)، أما الصنف الثالث هو القشرة المتوسطة شغل مساحة (٣٩ كم^٢) في عام ١٩٩٤ وشغل مساحة (٤١.٩ كم^٢) في عام (٢٠٢٤) بنسبة (٦١.١٥ %) وبفرق (٢.٤).

رغم تراجع بعض المؤشرات وفق (NDVI) إلا ان الزيادة الطفيفة في مساحة القشرة البيولوجية المتوسطة (CI) تعكس استجابة محلية موجبه قد تعود الى الضغط البشري في بعض المناطق أو استقرار طفيف في رطوبة التربة، وفق مؤشر (NDMI) وهذا يشير الى ان مؤشرات التدهور تتبع مساراً موحداً في كل المواقع.

٦- مؤشر ملوحة التربة (SI)

الملوحة من المشاكل البيئية ذات الانتشار الواسع المسؤولة عن تدهور التربة خاصة في المناطق الجافة وشبه الجافة.

وبسبب التقدم والتطور التكنولوجي واستخدام التقنيات نجحت في الاستشعار عن بعد والكشف عن التملح ووجد الباحثين (Reevel ١٩٧٥) و (Almohiwly ١٩٨٣) ان الموجات تحت الحمراء هي الأفضل في التنبؤ بملوحة التربة والتمييز بين الترب الملحية وغير الملحية (المشهداني و الكبيسي، ٢٠١٤ ، صفحه ٢٤٧).

تؤثر ملوحة التربة في قيم الانعكاسية الطيفية حيث ان الترب الملحية تكون ذات قيم انعكاسية منخفضة مقارنة بالتراب غير الملحية وتملح التربة يؤثر على الانتاج الزراعي والبيئي ويدمر جميع الكائنات والنباتات التي تعيش في التربة وبالتالي تقل من انتاجية الارض. يتراوح في هذا المؤشر بين (-١ ، +١) وبعد تطبيق المعادلة (Tran, Estination of Salinity) :

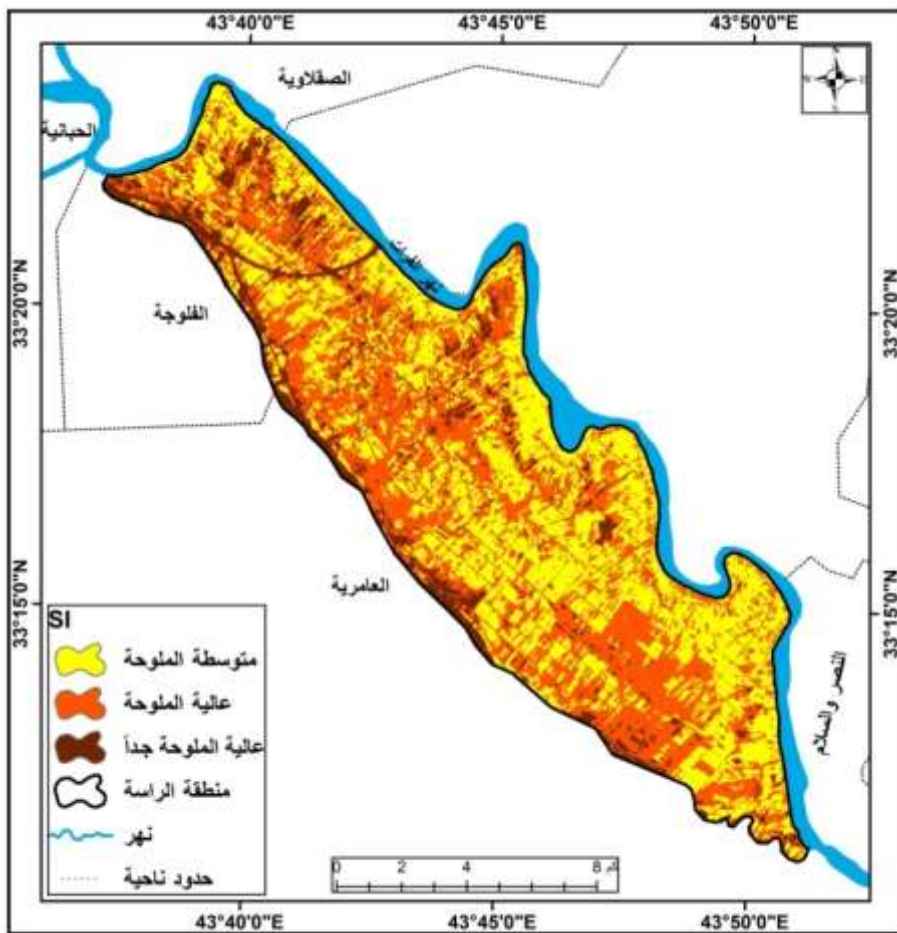
: (١٧). Intrasis busing, 2018, p

$$SI = (Red - NIR) / (Red + NIR)$$

ومن خلال هذا المؤشر تم تصنيف منطقة الدراسة إلى ثلاثة أصناف الصنف الأول متوسطة الملوحة شغل مساحة (٧٠.٧ كم^٢) في عام (١٩٩٤) وشغل مساحة (٥٥.٦ كم^٢) سنة (٢٠٢٤) بنسبة تغير (٢١.٣٥ %) وبفرق (-١٥.١)، أما الصنف الثاني هو عالي الملوحة شغل مساحة (٧٣ كم^٢) عام ١٩٩٤ وشغل مساحة (٧١ كم^٢) في عام (٢٠٢٤) بنسبة (٢٦.٠ %) وبفرق (-١.٩)، أما الصنف الثالث هو عالية الملوحة جداً شغل مساحة (١٦.٩ كم^٢) في سنة ١٩٩٤ وشغل مساحة (٣٣.٩ كم^٢) في سنة (٢٠٢٤) وبنسبة (

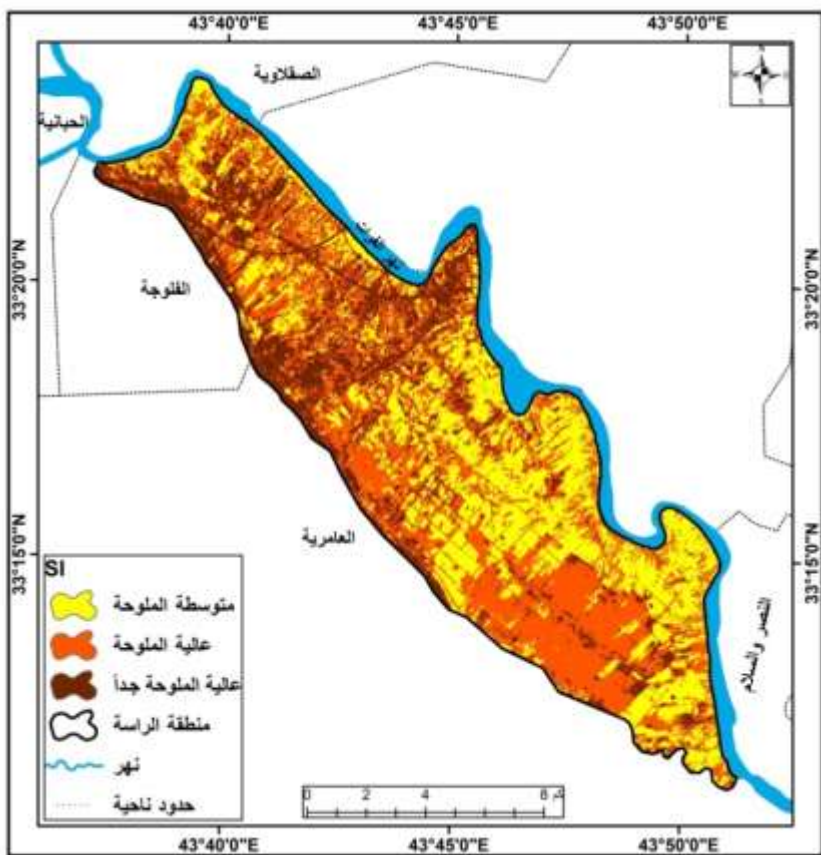
(٥٩.٥٠٪) وفرق (١٧٪) ، تشير بيانات دليل الملوحة الى انخفاض فنتي متوسطة الملوحة وعالية الملوحة بنسبة (٢١.٣٥٪) و(٢٦٪) بين عامي (١٩٩٤ و ٢٠٢٤) في حين ارتفعت فئة عالية الملوحة جداً بنسبة (١٠٠.٥٩٪) وهذا يعكس تحولاً واضحاً نحو تدهور التربة وزيادة نسبة الملوحة العالية جداً مما يشير الى تفاقم مشكلة التملح وهذا يؤثر سلباً على الانتاج الزراعي واستخدام الارضي .

خريطه (١٧) مؤشر SI لسنة ١٩٩٤



المصدر: Landsat ٥ لسنة ١٩٩٤ بتاريخ ٢٣/٣/١٩٩٤

خرطة (١٨) مؤشر SI لسنة ٢٠٢٤



المصدر: Landsat ٨ لسنة ٢٠٢٤ بتاريخ ٢٣/٣/٢٠٢٤
جدول (١٣) نسبة التغير لمؤشر SI

نسبة التغير (%)	الفرق (٢٠٢٤ - ١٩٩٤)	مساحة/كم ^٢		الوصف
		٢٠٢٤	١٩٩٤	
-21.35%	-15.1	55.6	70.7	متوسطة الملوحة
-2.60%	-1.9	71.1	73	علية الملوحة
100.59%	17	33.9	16.9	علية الملوحة جداً
		160.6	160.6	المجموع

المصدر : بالاعتماد على خريطة (١٧,١٨).

تشير بيانات دليل الملوحة (SI) إلى انخفاض في فنتي "متوسطة الملوحة" و"عالية الملوحة" بنسبة ٢١.٣٥% و ٢٠.٦% على التوالي بين عامي ١٩٩٤ و ٢٠٢٤، في حين ارتفعت فئة "عالية الملوحة جداً" بنسبة ٥.٩% . يعكس هذا الاتجاه تحولاً واضحًا نحو تدهور التربة وزيادة نسب الملوحة العالية جداً، ما يشير إلى تفاقم مشكلة التملح، وهو ما قد يؤثر سلباً على الإنتاج الزراعي واستدامة استخدام الأراضي.

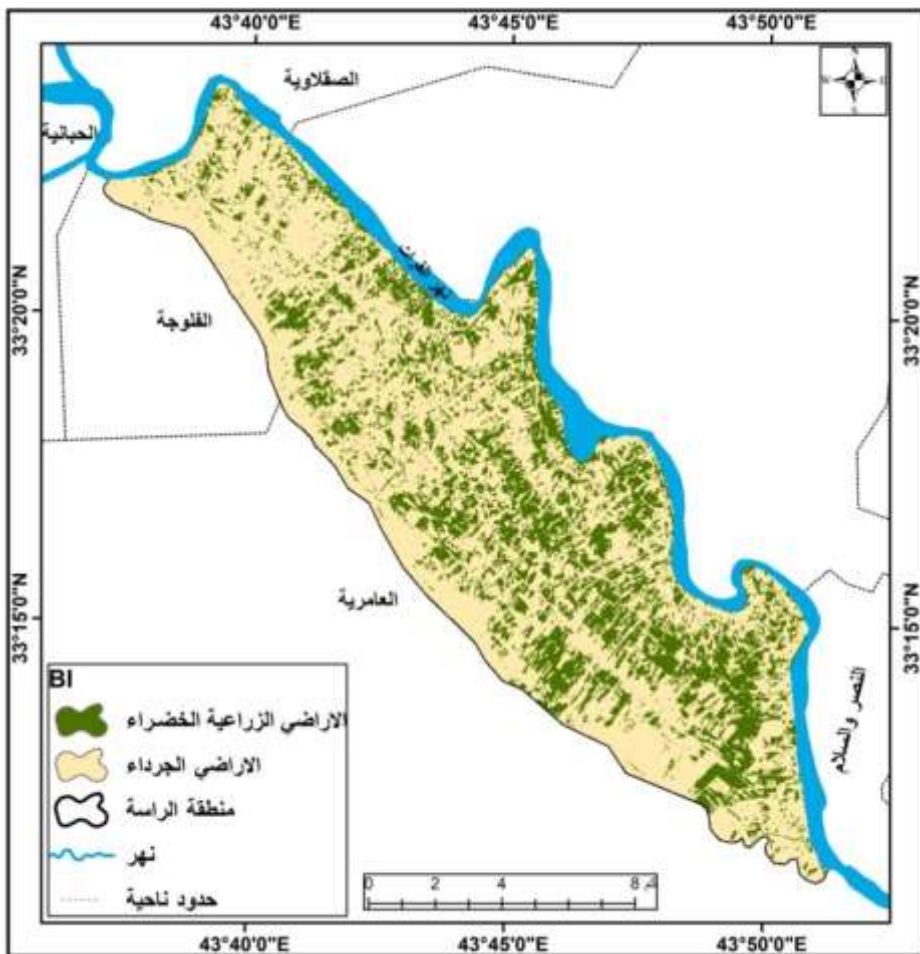
٧- مؤشر التربة الجرداة (BI)

هي التربة الخالية من النباتات بسبب فقدان خصوبتها وضياع معظم المواد العضوية والمعdenية منها (سمور، ٢٠٠٩، صفحة ٢٤٩)، يعد مؤشر (BI) مؤشر رقمي يجمع النطاقات الطيفية للأشعة تحت الحمراء والضوء الأزرق لفهم تغيرات التربة، تستخدم بطريقة طبيعية مثل الأشعة تحت الحمراء القصيرة والأشعة الطيفية الحمراء لفهم المعادن في تكوين التربة ويستخدم الضوء الأزرق وضوء الأشعة تحت الحمراء القريبة من اللون الأحمر لرؤيه وجود الغطاء النباتي ويتراوح المدى الديناميكي لهذا المؤشر عن (١٠-١٠٠) (حاشوش، ٢٠٢١، صفحة ٣٣٧) ، ويتم تصنيف التربة حسب المؤشر اصناف من خلال المعادلة :

$$BSI = (RED + SWIR) - (NIR + BLUE) / (RED + SWIR) + (NIR + BLUE)$$

الصنف الاول الارضي الزراعية الخضراء شغل عام ١٩٩٤ مساحة (٥٦.٦ كم^٢) وشغل مساحة (٥١.٣ كم^٢) في سنة (٢٠٢٤) وبنسبة (٩.٣٧%) وبفرق (٥.٣) ، اما الصنف الثاني هو الارضي الجرداة شغل مساحة (١٠٤ كم^٢) في عام (١٩٩٤) وشغل مساحة (١٠٩.٣ كم^٢) في سنة (٢٠٢٤) وبنسبة (٥.١٠%) وبفرق (٥.٣) يظهر المؤشر (BSI) انخفاضاً بنسبه (٩.٣٧%) في الارضي الخضراء ويشير الى تراجع الغطاء النباتي والانتاجية الزراعية في المقابل ارتفعت قيمة الارضي الجرداة بنسبة (٥.١٠%) وهذا يعكس ازدياد في المساحات المتدهورة او المكشوفة وهذا يدل على تقدم ظاهرة التصحر او تدهور جودة الارضي بفعل العوامل الطبيعية او البشرية .

خرطة (١٩) مؤشر BI لسنة ١٩٩٤



المصدر: Landsat ٥ لسنة ١٩٩٤ بتاريخ ٢٣/٣/١٩٩٤

خرطة (٢٠) مؤشر BI لسنة ٢٠٢٤



المصدر: Landsat ٨ لسنة ٢٠٢٤ بتاريخ ٢٣/٣/٢٠٢٤

جدول (١٤) نسبة التغير لمؤشر BI

نسبة التغير (%)	الفرق (٢٠٢٤ - ١٩٩٤)	مساحة/كم ^٢		الوصف
		٢٠٢٤ سنة	١٩٩٤ سنة	
-9.37%	-5.3	51.3	56.6	الأراضي الزراعية الحضراء
5.10%	5.3	109.3	104	الأراضي الجرداء
		160.6	160.6	المجموع

المصدر : بالاعتماد على خريطة (١٩,٢٠).

يُظهر مؤشر (BI) انخفاضاً بنسبة ٩.٣٧% في الأراضي الزراعية الخضراء، ما يشير إلى تراجع في الغطاء النباتي والإنتاجية الزراعية. في المقابل، ارتفعت قيمة الأرضي الجرداء بنسبة ٥.١٠%， وهو ما يعكس ازدياداً في المساحات المتدهورة أو المكشوفة، مما قد يدل على تقدم ظاهرة التصحر أو تدهور جودة الأرضي بفعل العوامل الطبيعية أو البشرية.

المراجع

- احمد صالح المشهداني، و احمد مدلول الكبيسي. (٢٠١٤). علم التحسس النائي. بغداد: جامعة بغداد.
- ايد عبدالله خلف. (٢٠١٥). استخدام دليل الاختلاف الخضري (NDVI) وبعض المؤشرات النباتية لرصد التصحر والكتبان الرملية في بيجي العراق. تكريت للعلوم الصرفة.
- جاسم خلف شلال. (٢٠٠٧). استخدام الدليل الاختلاف الخضري الطبيعي (NDVI) في تحديد وتقدير حالة تدهور الغطاء النباتي لمنطقة جبل سنجار في نينوى. المجلة العراقية لعلوم الأرض .
- حسن أبو سعور. (٢٠٠٩). الجغرافية الحيوية والتربة. عمان: الجامعة الاردنية.
- صفاء مجید مظفر. (٢٠١٥). جغرافية التربة. بغداد: مطبعة بغداد.
- محمد السعيد أبو والي، و عادل محمد أبو الخير. (٢٠٠٤). تدهور الاراضي. كفر الشيخ: مكتبة العلم والآيمان.
- وسام حمود حاشوش. (٢٠٢١). كشف تغيرات الغطاء الأرضي لمحافظة ذي قار للمدة (٢٠١٣-٢٠٢٠) باستخدام المؤشرات الطيفية. كلية التربية للعلوم الإنسانية.
- fadhil, A. M. (2011). *Drought Mapping using geo information*. London
- fadhil, A. M. (2011). *Drought Mapping using geo information*. London
- Hong-Weizhong, & Hual, I. (2015). the Application of Modified Normalized Difference Water Index by Leaf Area Index in the Ret level of Regional Drought Monitoring. *international symposium on Remotes Environment Berlin*.
- refer, R. (2018). suitabitlity of (NDVI) and (SAVI) as estimators of green bio mass and coverage in a semi-arid range land 94. etal.
- Tran, P. H. (2018). *Estination of Salinity Intrasis busing, Landsat 80 LI Data in The mekong De Ta Vietnam NaTional Space Center*.
- Tran, P. H. (2018). *Estination of Salinity Intrasis busing*. Vietnam NaTional Space Center.
- Zaatipour, F. N. (n.d.). Assessment of LST and NDMI indices using MoDIS and Landsat images in Karun aparian Forest. *Natural Resources university* .